

# TEORIA QUÂNTICA DE CAMPOS

ESCOLA DE FÍSICA DA UERJ 2020

PROF. BRUNO MINTZ

AULA 3



# Nesta aula

- ▶ Cálculo explícito da energia do vácuo.
- ▶ A energia do vácuo e o problema da constante cosmológica.
- ▶ Espalhamento de partículas
- ▶ O momento magnético anômalo do múon
- ▶ O formalismo de Feynman para MQ e TQC

Como calcular da energia do vácuo?

# Como calcular da energia do vácuo?

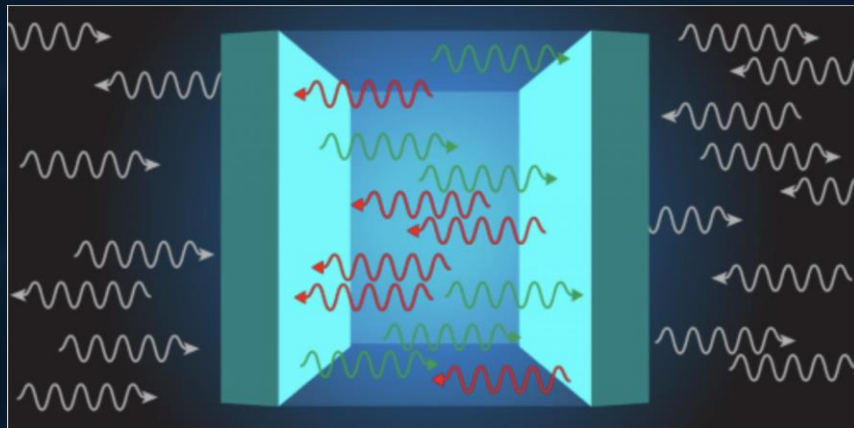
- ▶ Expressão (formal) para a energia do vácuo

$$E_{vac} = V \int \frac{d^3k}{(2\pi)^3} \frac{\hbar\omega_{\vec{k}}}{2} = V \int \frac{d^3k}{(2\pi)^3} \frac{\hbar c \sqrt{\vec{k}^2 + \tilde{m}^2}}{2} \rightarrow \infty$$

- ▶ Como obter alguma coisa razoável desta expressão?
- ▶ Afinal, o efeito Casimir é real, medido experimentalmente (aula 2).

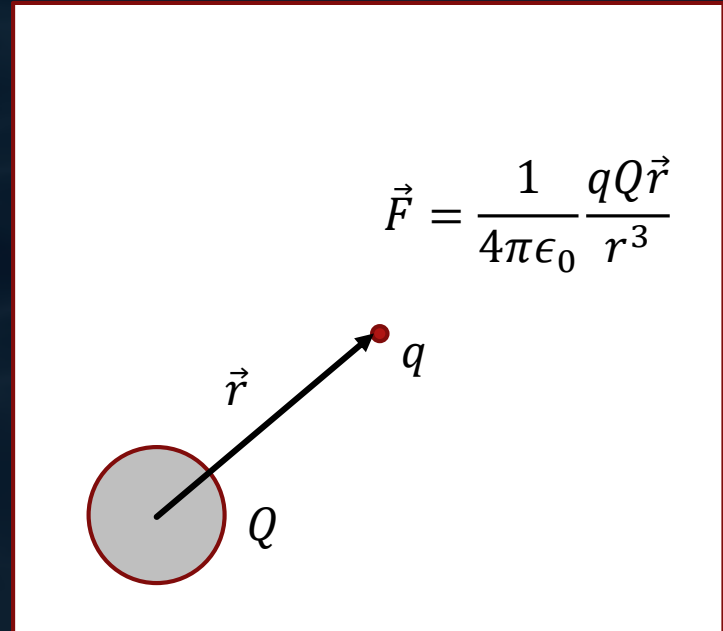
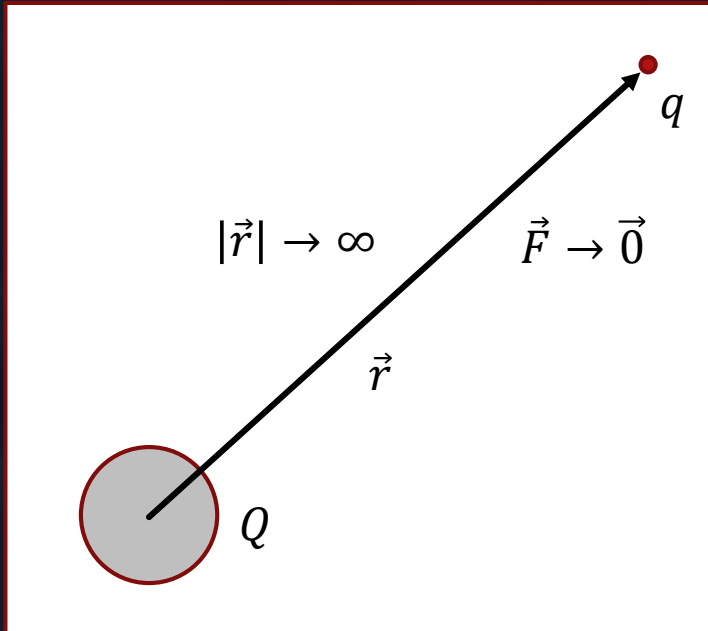
# Como calcular da energia do vácuo?

- ▶ Embora a energia do vácuo seja infinita, o que importa para a força é como ela varia com a distância entre as placas. (Aula 2.)



# Como calcular da energia do vácuo?

- ▶ Energia eletrostática entre duas cargas: trabalho da força elétrica para trazer a carga  $q$  do infinito (onde  $F = 0$ ) até uma distância  $r$ .



# Como calcular da energia do vácuo?

- ▶ Trabalho da força conservativa = - variação da energia potencial
- ▶ Devemos calcular a energia do vácuo nas duas situações:
  - “Final”: placas presentes, à distância  $L$
  - “Inicial”: placas ausentes (ou, equivalentemente, à distância  $D \rightarrow \infty$ )

# Como calcular da energia do vácuo?

▶ Cálculo simplificado:

- Campo escalar sem massa ( $\tilde{m} = 0$ )
- Dimensão espacial  $d = 1 + 1$  (eixo  $X$ )
- Condição de contorno: extremos presos em  $x = 0$  e  $x = L$

$$\varphi(0, t) = \varphi(L, t) = 0$$

▶ Equação da onda ( $\tilde{m} = 0$ )

$$\frac{\partial^2 \varphi}{\partial t^2} - \frac{\partial^2 \varphi}{\partial x^2} = 0$$

# Como calcular da energia do vácuo?

- ▶ Equação da onda:

$$\frac{1}{c^2} \frac{\partial^2 \varphi}{\partial t^2} - \frac{\partial^2 \varphi}{\partial x^2} = 0$$

- ▶ Modos normais entre as “placas” (via separação de variáveis):

$$\varphi_n(x, t) = [A_n \text{sen}(k_n x) + B_n \text{cos}(k_n x)] \text{sen}(\omega_n t)$$

- ▶ Impondo-se as condições de contorno  $\varphi(0, t) = \varphi(L, t) = 0$ , temos

$$B_n = 0 \quad e \quad k_n = \frac{n\pi}{L} \quad \Rightarrow \quad \omega_n = ck_n = \frac{n\pi c}{L}$$

com  $n = 0, 1, 2, \dots$

Com as frequências dos modos normais, já podemos calcular  $E_{vac}$ !

# Como calcular da energia do vácuo?

- ▶ Energia do vácuo na região entre as placas, na sua presença:

$$E_{vac}^{dentro, com placas} = E_f = \sum_{\substack{\text{modos} \\ \text{normais}}} \frac{\hbar\omega}{2} = \sum_{n=0}^{\infty} \frac{\hbar c\pi}{2L} n \rightarrow \infty$$

como poderíamos esperar. (Há infinitos modos normais.)

- ▶ Energia do vácuo na região entre as placas, na sua ausência:

$$E_{vac}^{dentro, sem placas} = E_i = \sum_{\substack{\text{modos} \\ \text{normais}}} \frac{\hbar\omega}{2} = \int_0^{\infty} \frac{d\omega}{\pi c/L} \frac{\hbar\omega}{2} \rightarrow \infty$$

# Como calcular da energia do vácuo?

- ▶ A energia do vácuo em ambas as situações é infinita.
- ▶ Mas e a sua variação ao se passar da situação inicial para a final?

$$\Delta E = E_f - E_i = \sum_{n=0}^{\infty} \frac{\hbar c \pi}{2L} n - \int_0^{\infty} \frac{d\omega}{\frac{\pi c}{L}} \frac{\hbar \omega}{2} = \infty - \infty$$

Expressão mal definida!

**OH! E AGORA QUEM**



**PODERÁ ME DEFENDER**

GERADORMEMES.COM

# Como calcular da energia do vácuo?

- ▶ **Regularização** (definição **informal**):
  - Procedimento matemático para evitar que certas integrais (ou somas) sejam divergentes.
  - Permite que, em seguida, seja feita a renormalização (subtração).
  - **Diversas possibilidades** para a regularização: corte abrupto (frequência máxima), corte gradual (função de corte), continuação analítica (regularização zeta), ...

# Como calcular da energia do vácuo?

- ▶ Em outros cálculos de TQC (p. ex., espalhamento), também surgem infinitos. Para tornar possível o cálculo, é necessário fazer alguma regularização: corte abrupto, corte gradual, continuação analítica (**regularização dimensional**), introdução de “partículas fictícias” (**Pauli-Villars**), ...
- ▶ Em todos os casos, há um **parâmetro** que, no limite adequado, recupera a integral (ou soma) divergente original.

# Como calcular da energia do vácuo?

- ▶ Regularização por **corte brusco**:

$$E_i = \int_0^{\infty} \frac{d\omega}{L} \frac{\hbar\omega}{2} \rightarrow E_i^{reg}(\omega_{max}) = \int_0^{\omega_{max}} \frac{d\omega}{L} \frac{\hbar\omega}{2}$$
$$E_f = \sum_{n=0}^{\infty} \frac{\hbar c\pi}{2L} n \rightarrow E_f^{reg}(N_{max}) = \sum_{n=0}^{N_{max}} \frac{\hbar c\pi}{2L} n$$

Obs.:  $\omega_{max} \rightarrow \infty$  ou  $N_{max} \rightarrow \infty$  recuperam as expressões originais ( $\infty$ ).

- ▶ Regularização por **corte gradual** (exponencial):

$$E_f = \sum_{n=0}^{\infty} \frac{\hbar c\pi}{2L} n \rightarrow E_f^{reg}(\sigma) = \sum_{n=0}^{\infty} \frac{\hbar c\pi}{2L} n e^{-\sigma n}$$

Obs.:  $\sigma \rightarrow 0$  recupera a expressão original ( $\infty$ ).

# Como calcular da energia do vácuo?

- ▶ Regularização por **corte gradual**:

$$E_i^{reg}(\sigma) = \int_0^\infty \frac{d\omega}{L} \frac{\hbar\omega}{2} \underbrace{e^{-\sigma\omega}} = \frac{\hbar L}{2\pi c} \frac{1}{\sigma^2}$$

$$E_f^{reg}(\sigma) = \sum_{n=0}^{\infty} \frac{\hbar c\pi}{2L} n \underbrace{e^{-\sigma n c\pi/L}} = \frac{\frac{\hbar\pi c}{2L}}{\left(e^{\frac{\sigma\pi c}{2L}} - e^{-\frac{\sigma\pi c}{2L}}\right)^2}$$

Obs.:  $\sigma \rightarrow 0$  recupera as expressões originais ( $\infty$ ).

# Como calcular da energia do vácuo?

- ▶ Fazendo a expansão em série para  $\sigma \rightarrow 0$ :

$$E_i^{reg}(\sigma) = \int_0^\infty \frac{d\omega}{L} \frac{\hbar\omega}{2\pi c} e^{-\sigma\omega} = \frac{\hbar L}{2\pi c} \frac{1}{\sigma^2}$$

$$E_f^{reg}(\sigma) = \frac{\frac{\hbar\pi c}{2L}}{\left(e^{\frac{\sigma\pi c}{2L}} - e^{-\frac{\sigma\pi c}{2L}}\right)^2} = \frac{\frac{\hbar\pi c}{8L}}{\left(\sinh\left(\frac{\sigma\pi c}{2L}\right)\right)^2} = \frac{\hbar L}{2\pi c} \frac{1}{\sigma^2} - \frac{\hbar\pi c}{24L} + O(\sigma^2)$$

# Como calcular da energia do vácuo?

- ▶ Fazendo a subtração da energia do vácuo do espaço livre:

$$E_{Casimir} = \lim_{\sigma \rightarrow 0} \left( E_f^{reg}(\sigma) - E_i^{reg}(\sigma) \right) = -\frac{\hbar\pi c}{24L},$$

que é um resultado finito!

- ▶ Os cálculos de energia de Casimir para situações mais complexas são bastante análogos a este.
- ▶ A complicação normalmente surge apenas no cálculo das frequências dos modos. (Cálculo clássico!)

# Exercício

- ▶ Refaça estes cálculos em detalhes.
- ▶ Calcule a força de Casimir para fronteiras com condições de contorno tipo “corda solta” (Neumann) numa extremidade e “corda presa” (Dirichlet) na outra.  
(Note que o resultado será diferente para esta condição de contorno diferente.)

# A energia do vácuo em nível cosmológico

- ▶ Hipótese básica: os campos permeiam todo o Universo.
- ▶ A energia do (estado de) vácuo dos campos deve ter consequências cosmológicas.
- ▶ Efeito Casimir:
  - Situação inicial: bem definida
  - Situação final: bem definida
- ▶ Energia de Casimir (física): variação da energia é finita.

# A energia do vácuo em nível cosmológico

- ▶ Se o sistema for o Universo, como definir a energia do vácuo?
- ▶ Um problema adicional e importante:

$$R_{\mu\nu} - \frac{1}{2} g_{\mu\nu} R = \frac{8\pi G}{c^4} T_{\mu\nu}$$

(equação de Einstein para a gravitação – Relatividade Geral)

- ▶ Energia curva o espaço-tempo.
- ▶ E a energia (infinita) do vácuo ?

# A energia do vácuo em nível cosmológico

R. J. Adler, B. Casey e O. Jacob  
American Journal of Physics **63**, 620 (1995)

- ▶ Uma estimativa: comprimento de onda mínimo/frequência máxima. (Apenas para o campo eletromagnético.)

$$E_{vac}(\omega_{max}) = 2V \int \frac{d^3k}{(2\pi)^3} \frac{\hbar\omega_k}{2}$$

- ▶ Hipótese: Energia máxima para fótons: energia de Planck

$$e_{max} = \hbar\omega_{max} = 10^{19} GeV$$

# A energia do vácuo em nível cosmológico

R. J. Adler, B. Casey e O. Jacob  
American Journal of Physics **63**, 620 (1995)

- ▶ Hipótese: Energia máxima para fótons: energia de Planck

$$e_{max} = \hbar\omega_{max} = 10^{19} GeV$$

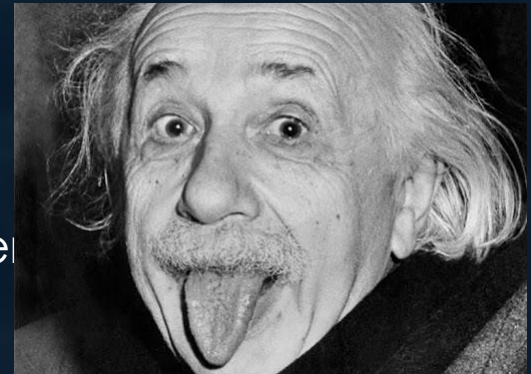
- ▶ Densidade de energia (previsão teórica):

$$\frac{E_{vac}}{V} = 8,4 \times 10^{76} fm^{-4}$$

- ▶ Limite experimental para a densidade de energia

$$\frac{E_{exp}}{V} < 2,9 \times 10^{-44} fm^{-4}$$

- ▶ Uma discrepância de **120 ordens de magnitude!**

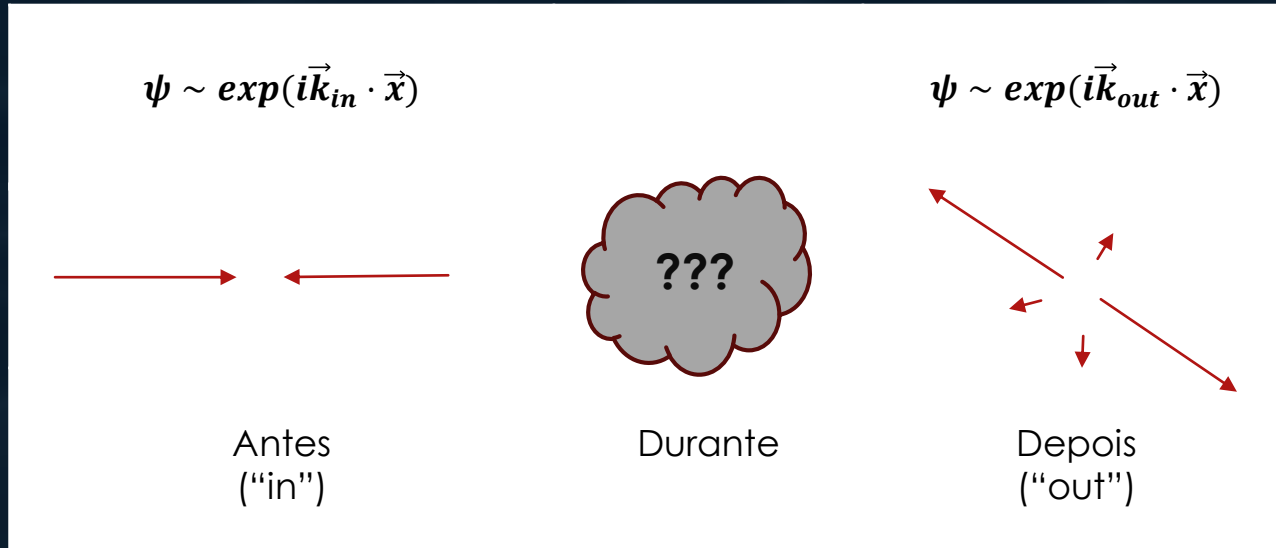


# Exercício

- ▶ Leia o artigo de R. J. Adler, B. Casey e O. Jacob [American Journal of Physics **63**, 620 (1995)].

# Espalhamentos em Mecânica Quântica

- ▶ A ideia de um processo de espalhamento:



# Espalhamentos em Mecânica Quântica

- ▶ Estado inicial ("in"):  $N$  partículas livres
- ▶ Estado final ("out"):  $N'$  partículas livres
- ▶ Estado intermediário: ??????
  
- ▶ **Objetivo da teoria de espalhamento: dados um estado inicial e um potencial de interação, determinar o estado final.**

# Espalhamentos em Mecânica Quântica

- ▶ Em Mecânica Quântica: interação = energia potencial **entre partículas**

$$U(|\vec{r}_i - \vec{r}_j|) = \frac{1}{4\pi\epsilon_0} \frac{ZZ'e^2}{|\vec{r}_i - \vec{r}_j|}$$

- ▶ Em TQC: **autointeração** ou **interação entre campos diferentes** (N indefinido)

$$\mathcal{L}_{int} = \lambda\varphi^4 = \lambda\varphi\varphi\varphi\varphi \quad (\lambda\varphi^4, O(N), \text{Sigma linear}, \text{Higgs}, \dots)$$

$$\mathcal{L}_{int} = e\bar{\psi}\gamma^\mu A_\mu\psi \quad (\text{QED})$$

# Espalhamentos em Teoria de Campos

- ▶ Caso interessante: “in” e “out” são estados de partículas tão distantes que **não interagem** entre si (partículas “livres”).

- ▶ **Evolução quântica**: Operador de evolução temporal (de  $t$  até  $t'$ ):

$$\hat{U}(t, t') = \exp(i\hat{H}(t' - t))$$

- ▶ Ou seja,  **$\hat{U}(t, t')$  conecta estados em instantes diferentes**

$$|\psi(t')\rangle = \hat{U}(t, t')|\psi(t)\rangle$$

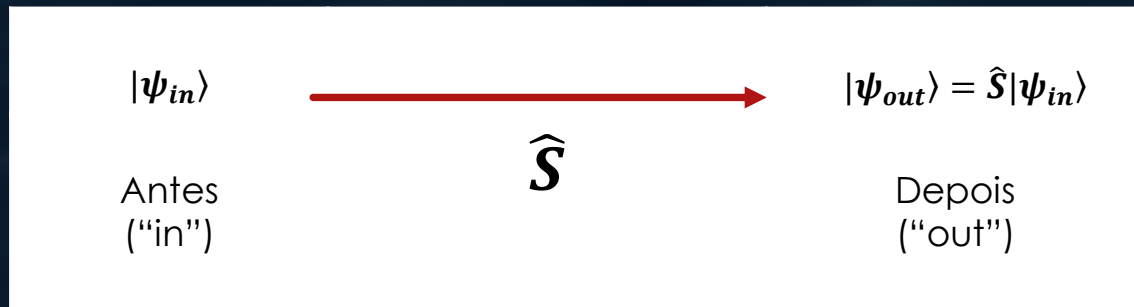
# Espalhamentos em Teoria de Campos

- ▶ Um espalhamento conecta estados assintóticos “in” ( $t \rightarrow -\infty$ ) e “out” ( $t \rightarrow \infty$ )

$$|\psi_{out}\rangle = \hat{U}(-\infty, +\infty)|\psi_{in}\rangle \equiv \hat{S}|\psi_{in}\rangle$$

- ▶ Define-se o operador de espalhamento  $\hat{S}$ :

$$|\psi_{out}\rangle = \hat{S}|\psi_{in}\rangle$$



# Espalhamentos em Teoria de Campos: matriz S

- ▶ Estado “in”:  $|\psi_\alpha^+\rangle$
- ▶ Estado “out”:  $|\psi_\beta^-\rangle$

$$|\psi_\beta^-\rangle = \hat{S}|\psi_\alpha^+\rangle$$

- ▶ Elementos de matriz do operador  $\hat{S}$ : amplitude de probabilidade de transição

$$S_{\beta\alpha} = \langle \psi_\beta^- | \psi_\alpha^+ \rangle$$

Obs.:  $\alpha$  e  $\beta$  especificam os estados (“números quânticos”: momento, spin, cor, sabor,...) “in” e “out”.

# Espalhamentos em Teoria de Campos: matriz S

$$|\psi_{\beta}^{-}\rangle = \hat{S}|\psi_{\alpha}^{+}\rangle$$

► Propriedades do operador  $\hat{S}$ :

- Unitariedade:  $\hat{S}^{\dagger}\hat{S} = \hat{1}$ , pois  $1 = \langle\psi_{\beta}^{-}|\psi_{\beta}^{-}\rangle = \langle\psi_{\alpha}^{+}|\hat{S}^{\dagger}\hat{S}|\psi_{\alpha}^{+}\rangle$  (conservação da probabilidade)
- **Invariante** (“simétrica”) sob transformações de **Lorentz**
- **Simetrias internas** → **conservação de cargas** (elétrica, cor, hipercarga, ...)
- Simetrias **C, P** e/ou **T** (dependendo dos campos envolvidos).
- Em geral, **simetrias** → **regras de seleção** (“permissão/proibição”)

# Espalhamentos em Teoria de Campos: matriz S

- ▶ Qual a relação entre a matriz S e processos de espalhamento?
- ▶ Para processos em todos trocaram momento e energia, definimos  $M_{\beta\alpha}$

$$S_{\beta\alpha} \equiv -2\pi i \delta^{(3)}(\vec{p}_\beta - \vec{p}_\alpha) \delta(E_\beta - E_\alpha) M_{\beta\alpha}$$

Obs.:  $\delta^{(3)}(\vec{p}_\beta - \vec{p}_\alpha) \delta(E_\beta - E_\alpha)$ : Conservação de momento e energia

- ▶ Taxa de decaimento (probabilidade por unidade de tempo)

$$d\Gamma(\alpha \rightarrow \beta) \equiv dP(\alpha \rightarrow \beta)/T = 2\pi |M_{\beta\alpha}|^2 \delta^4(p_\beta - p_\alpha) d\beta$$

- ▶ Seção de choque (taxa por unidade de fluxo – partículas/tempo)

$$d\sigma(\alpha \rightarrow \beta) \equiv d\Gamma(\alpha \rightarrow \beta)/\Phi_\alpha = (2\pi)^4 u_\alpha^{-1} |M_{\beta\alpha}|^2 \delta^4(p_\beta - p_\alpha) d\beta$$

# Espalhamentos em Teoria de Campos: matriz S

$$\langle \psi_{\beta}^{-} | \psi_{\alpha}^{+} \rangle \equiv S_{\beta\alpha} \equiv -2\pi i \delta^3(\vec{p}_{\beta} - \vec{p}_{\alpha}) \delta(E_{\beta} - E_{\alpha}) M_{\beta\alpha}$$

- ▶ Como calcular  $M_{\beta\alpha}$ ?
- ▶ Principal método: teoria de perturbação.
- ▶ Hipótese básica da teoria de perturbação

$$\hat{H} = \hat{H}_0 + \epsilon \hat{V}$$

- $\hat{H}_0$ : hamiltoniana do campo livre (exatamente solúvel)
- $\hat{V}$ : hamiltoniana de interação

# Espalhamentos em Teoria de Campos: matriz S em teoria de perturbação

$$\hat{H} = \hat{H}_0 + \epsilon \hat{V}$$

- ▶ Escrevendo o operador de evolução  $\hat{U}(t, t')$  no quadro de interação,

$$\hat{U}(\tau, \tau_0) = \exp(i\hat{H}_0\tau) \exp(-i\hat{H}(\tau - \tau_0)) \exp(-i\hat{H}_0\tau_0)$$

- ▶ É possível escrever o operador espalhamento como uma série

$$\hat{S} = \hat{1} - i\epsilon \int_{-\infty}^{\infty} dt_1 \hat{V}(t_1) + (-i)^2 \epsilon^2 \int_{-\infty}^{\infty} dt_1 \int_{-\infty}^{t_1} dt_2 \hat{V}(t_1) \hat{V}(t_2) + (-i)^3 \epsilon^3 \int_{-\infty}^{\infty} dt_1 \int_{-\infty}^{t_1} dt_2 \int_{-\infty}^{t_2} dt_3 \hat{V}(t_1) \hat{V}(t_2) \hat{V}(t_3) + \dots$$

Obs.: O parâmetro  $\epsilon$  deve ser pequeno para ser possível truncar a expansão.

# Espalhamentos em Teoria de Campos: matriz S em teoria de perturbação

$$S_{\beta\alpha} \equiv -2\pi i \delta^3(\vec{p}_\beta - \vec{p}_\alpha) \delta(E_\beta - E_\alpha) M_{\beta\alpha}$$

$$\hat{S} = \hat{1} - i\epsilon \int_{-\infty}^{\infty} dt_1 \hat{V}(t_1) + (-i)^2 \epsilon^2 \int_{-\infty}^{\infty} dt_1 \int_{-\infty}^{t_1} dt_2 \hat{V}(t_1) \hat{V}(t_2) + (-i)^3 \epsilon^3 \int_{-\infty}^{\infty} dt_1 \int_{-\infty}^{t_1} dt_2 \int_{-\infty}^{t_2} dt_3 \hat{V}(t_1) \hat{V}(t_2) \hat{V}(t_3) + \dots$$

- ▶ Uma forma muito conveniente de se calcular os elementos da matriz S é através dos chamados **gráficos de Feynman**.
- ▶ Os procedimentos para calcular os elementos da matriz S (na verdade, calculamos  $M_{\beta\alpha}$ ) a partir dos gráficos de Feynman possíveis em uma teoria são chamadas de **regras de Feynman**.

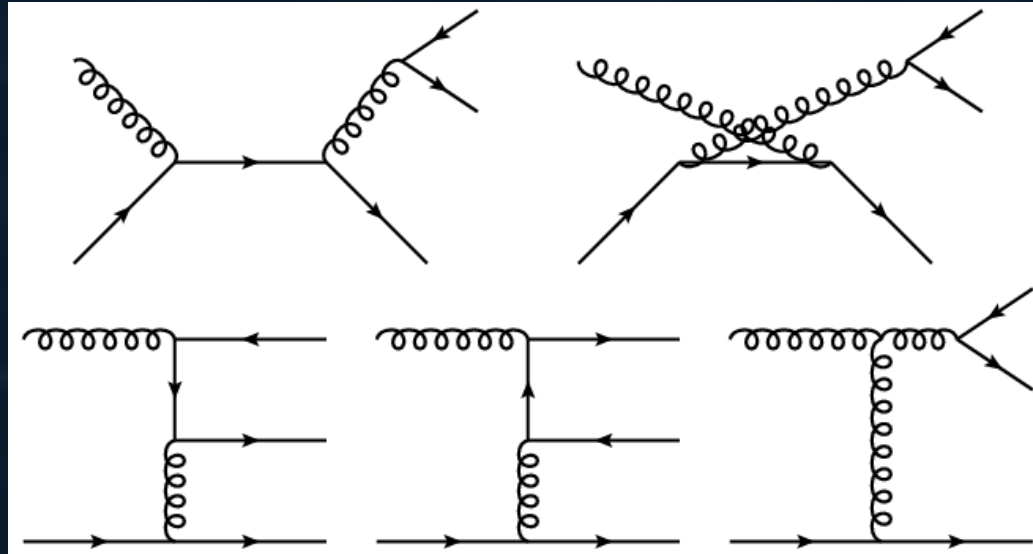
# Espalhamentos em Teoria de Campos: matriz S em teoria de perturbação

- ▶ Exemplo de regras de Feynman:  
Cromodinâmica quântica (QCD).

Gluon		$\frac{i\delta^{AB}}{q^2 + i\epsilon} \left[ -g^{mu\nu} + (1-\lambda) \frac{q^\mu q^\nu}{q^2 + i\epsilon} \right]$	covariant
Quark		$\frac{i}{\not{p} - m + i\epsilon}$	
Ghost		$\frac{i\delta^{AB}}{p^2 + i\epsilon}$	covariant
	$-ic_s f^{abc} \gamma^{\mu\nu\lambda}$		$-c_s f^{abc} \gamma^{\mu\nu\lambda}$ covariant
	$c_s f^{abc} [g^{ab} (\not{p} - \not{q})^\lambda + g^{bc} (\not{q} - \not{i})^\mu + g^{ca} (\not{i} - \not{p})^\nu]$		
	$-ic_s^2 [C^{abcd} (g^{\mu\nu} g^{\rho\sigma} - g^{\mu\rho} g^{\nu\sigma}) + C^{acbd} (g^{\mu\nu} g^{\rho\sigma} - g^{\mu\rho} g^{\nu\sigma}) + C^{adcb} (g^{\mu\nu} g^{\rho\sigma} - g^{\mu\rho} g^{\nu\sigma}) + C^{adb c} (g^{\mu\nu} g^{\rho\sigma} - g^{\mu\rho} g^{\nu\sigma})]$		

# Espalhamentos em Teoria de Campos: matriz $S$ em teoria de perturbação

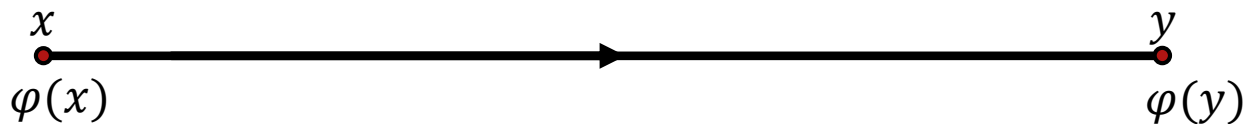
- ▶ Exemplos de diagramas de Feynman da QCD ( $qg \rightarrow \bar{q}qq$ )



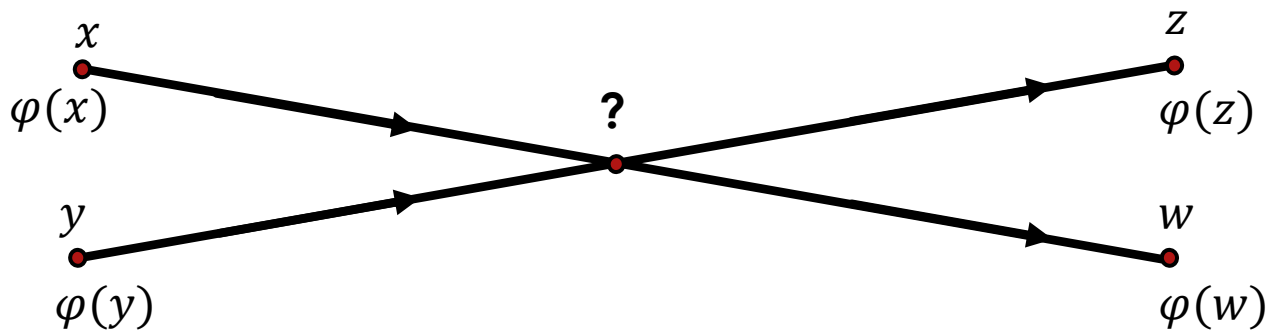
# Funções de correlação

# Funções de correlação

- ▶ A **propagação** e a **interação** das partículas são manifestações de como o campo se **relaciona** consigo mesmo (e/ou com outros campos) em **pontos diferentes** do espaço-tempo.



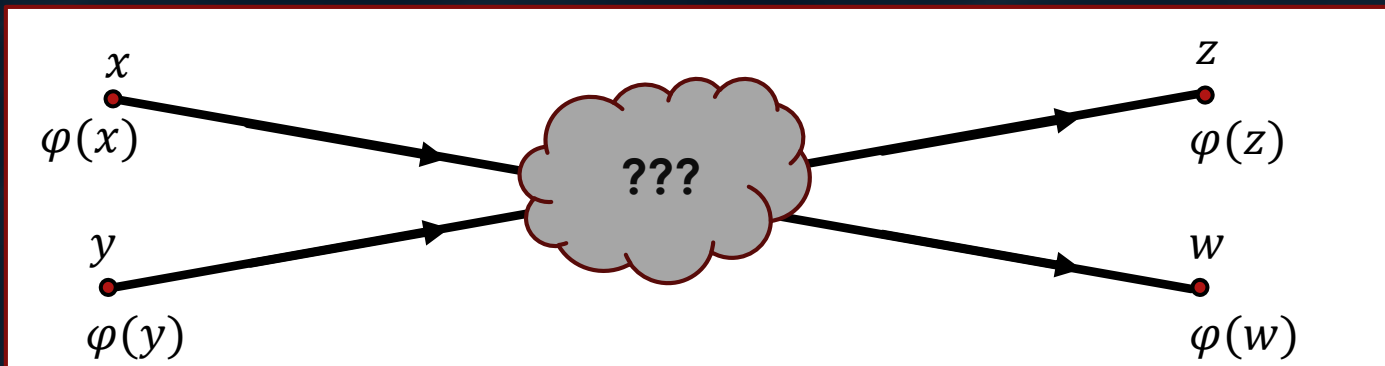
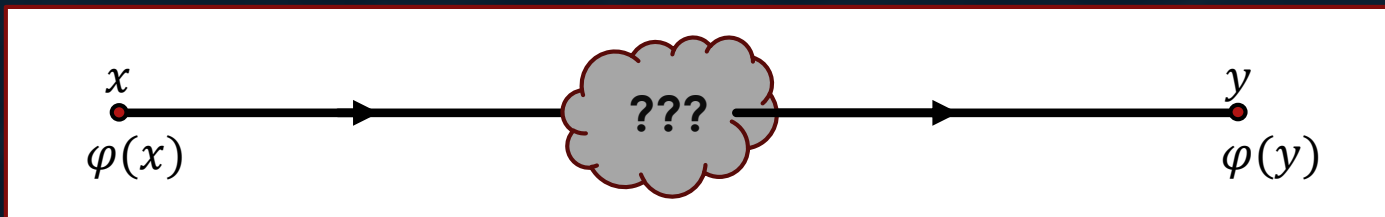
Função de correlação de 2 pontos



Função de correlação de 4 pontos

# Funções de correlação

- ▶ A **propagação** e a **interação** das partículas são manifestações de como o campo se **relaciona** consigo mesmo (e/ou com outros campos) em **pontos diferentes** do espaço-tempo.



# Funções de correlação

- ▶ Como qualquer observável em MQ, os operadores de campo adquirem **valores aleatórios** (com uma lei de probabilidades bem definida).
- ▶ Pode-se associar cada ponto do espaço-tempo a um **processo estocástico**.
- ▶ Um **processo estocástico** é definido pela **densidade de probabilidade**  $p(x, y)$ .
- ▶ Definições úteis:

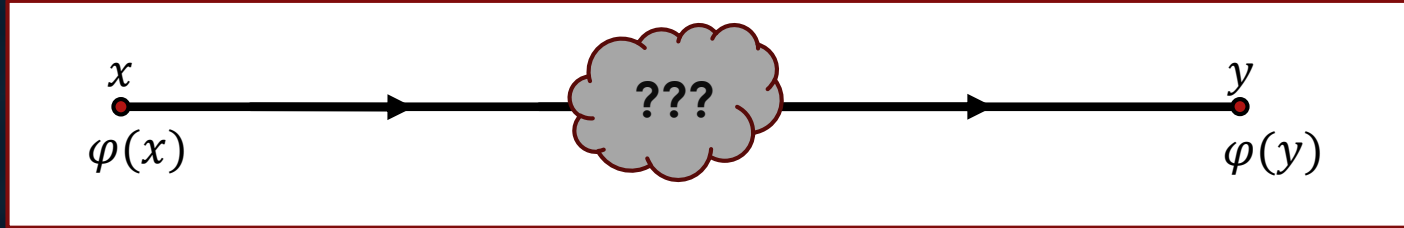
- Média de um processo  $X$  com densidade de probabilidade  $p(x)$ :

$$\langle X \rangle \equiv \int dx p(x) x$$

- Função de correlação entre dois processos estocásticos  $X$  e  $Y$  (prob.  $p(x, y)$ ):

$$\langle XY \rangle \equiv \text{Corr}(X, Y) \equiv \int dx dy p(x, y) x y$$

# Funções de correlação

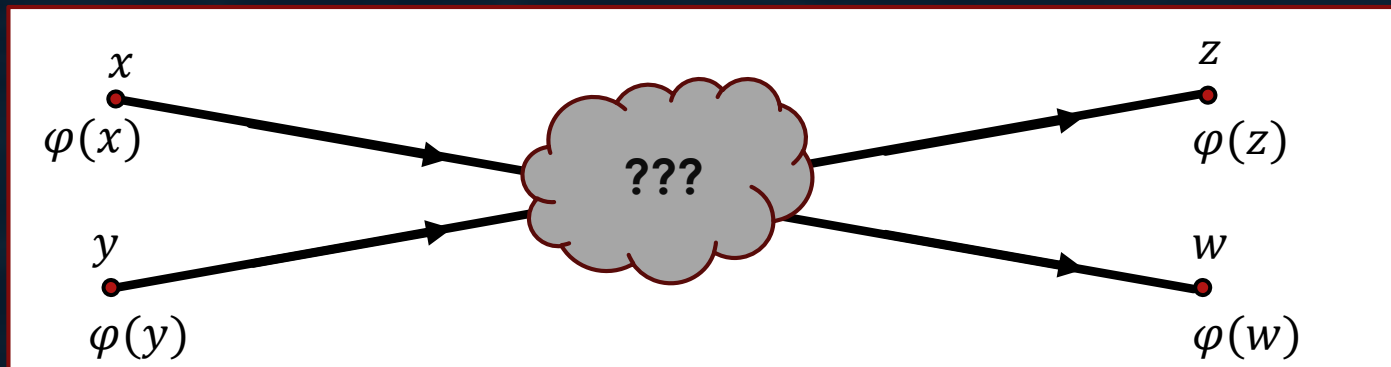


Função de  
correlação  
de 2 pontos  
(propagador)



$$\langle \Omega | \hat{\varphi}(x) \hat{\varphi}(y) | \Omega \rangle$$

# Funções de correlação



Função de  
correlação  
de 4 pontos



$$\langle \Omega | \hat{\varphi}(x) \hat{\varphi}(y) \hat{\varphi}(w) \hat{\varphi}(z) | \Omega \rangle$$

O momento magnético anômalo  
do múon

# O momento magnético anômalo do múon

<http://pdg.lbl.gov/2019/reviews/rpp2018-rev-g-2-muon-anom-mag-moment.pdf>

- ▶ Momento de dipolo magnético de uma partícula num fio circular.

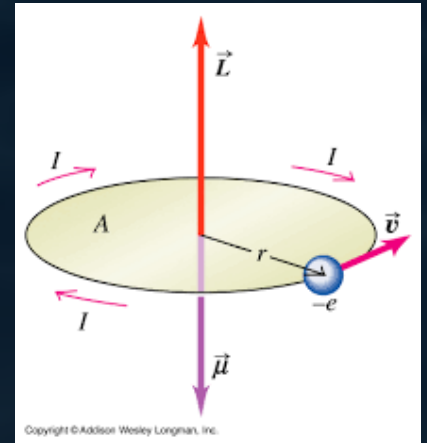
$$\vec{m} = \frac{q}{2\mu} \vec{L}$$

- ▶ Generalização: **fator g**

$$\vec{m} = g \frac{q}{2\mu} \vec{L}$$

- ▶ Partículas pontuais podem ter momento angular Intrínseco (spin). Partículas de spin  $\frac{1}{2}$ :

$$|\vec{L}| = |\vec{S}| = \frac{\hbar}{2}$$



# O momento magnético anômalo do múon

<http://pdg.lbl.gov/2019/reviews/rpp2018-rev-g-2-muon-anom-mag-moment.pdf>

$$\vec{m} = g \frac{q}{2\mu} \vec{L}$$

- ▶ Previsão da teoria de Dirac para férmions de spin  $1/2$  (elétrons, múons,...):

$$g_{Dirac} = 2$$

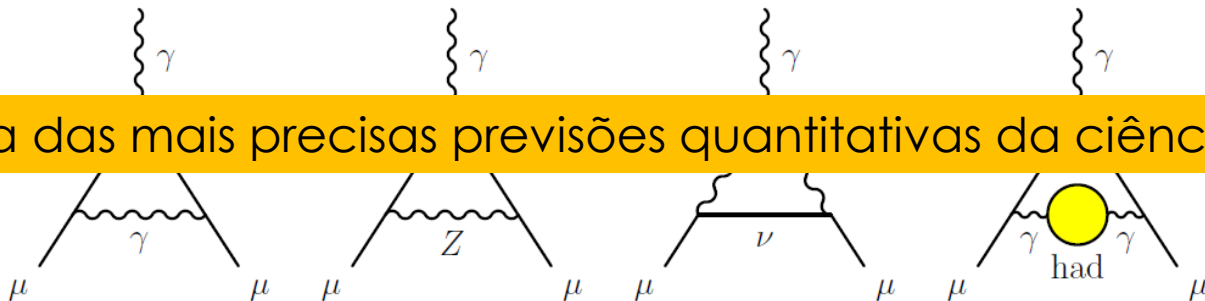
- ▶ Mas, experimentalmente, o valor é um pouco diferente de  $g = 2$  para cada partícula.

# O momento magnético anômalo do múon

<http://pdg.lbl.gov/2019/reviews/rpp2018-rev-g-2-muon-anom-mag-moment.pdf>

- ▶ Definição:  $a := \frac{g-2}{2}$
- ▶ Para o múon,  $a_{\mu}^{exp} = 0,001\,165\,920\,91\,(54)(33)$
- ▶ Previsão teórica (TQC):  $a_{\mu}^{teo} = 0,001\,165\,918\,30\,(1)(40)(26)$

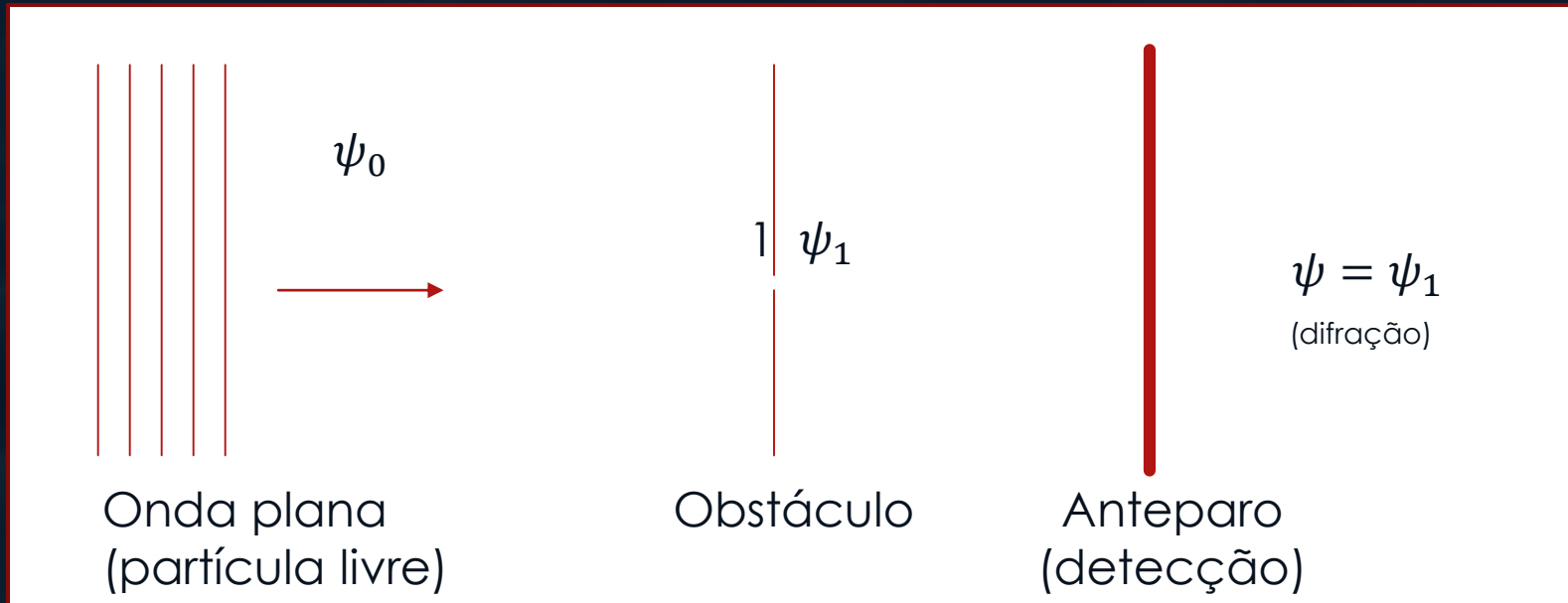
Uma das mais precisas previsões quantitativas da ciência!



# Formulação de Feynman da Mecânica Quântica

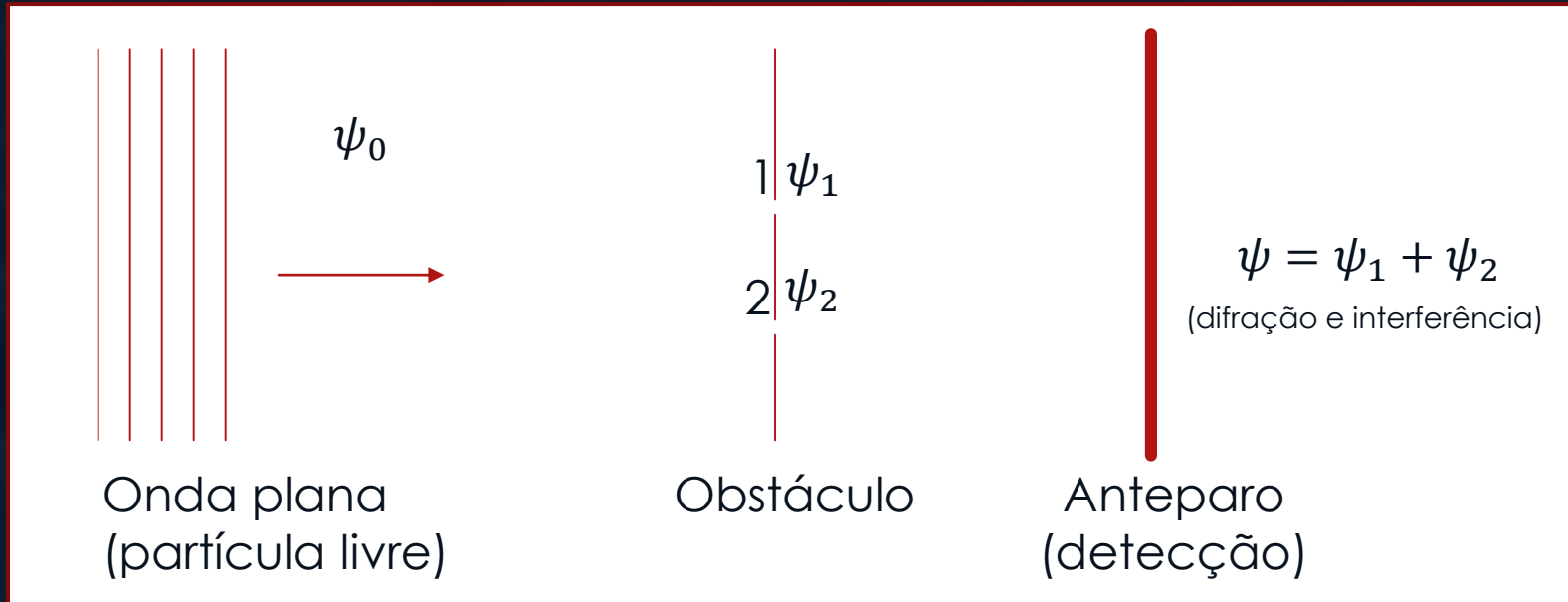
# Formulação de Feynman da MQ

- ▶ 1 obstáculo, 1 furo



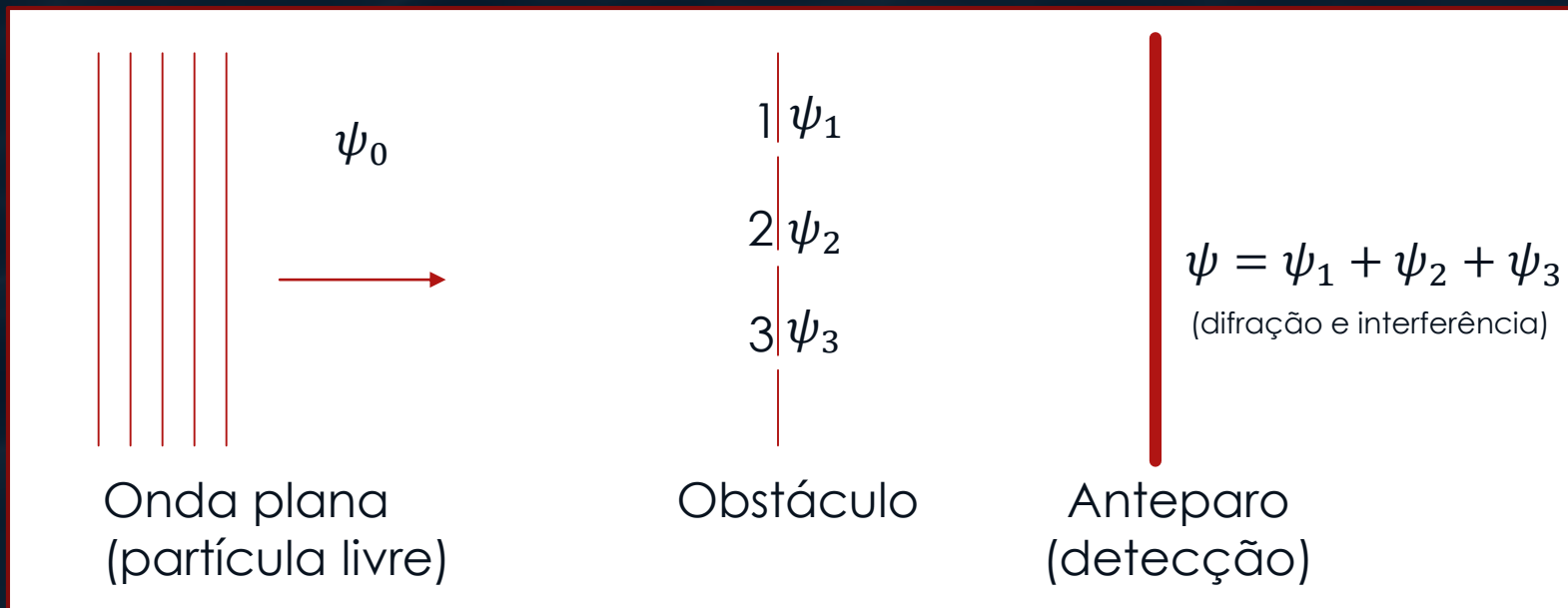
# Formulação de Feynman da MQ

- ▶ 1 obstáculo, 2 furos



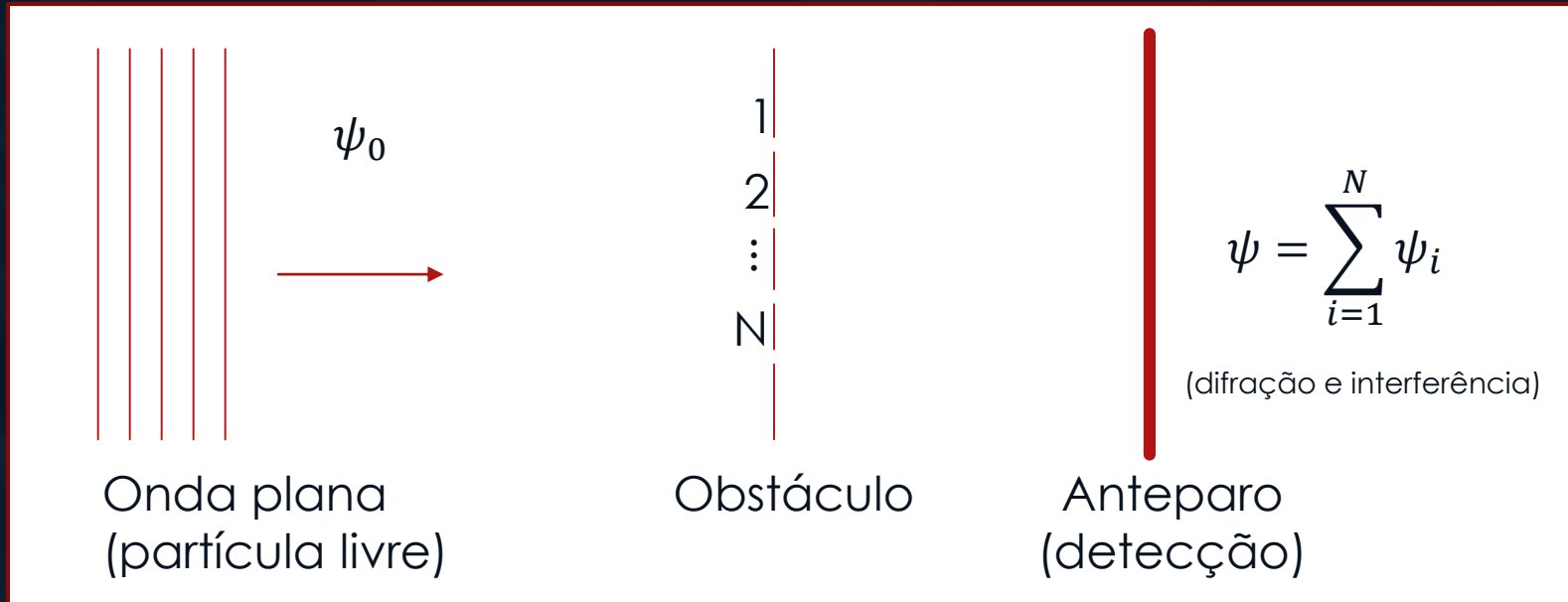
# Formulação de Feynman da MQ

- ▶ 1 obstáculo, 3 furos



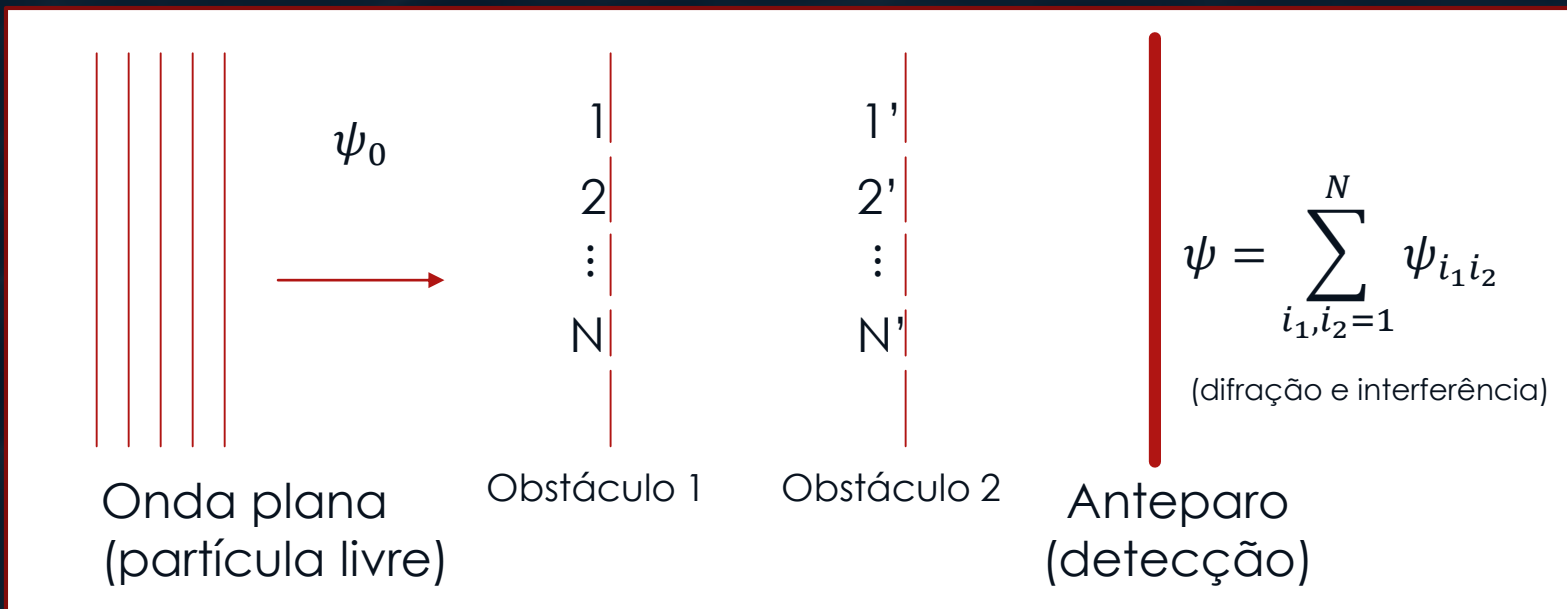
# Formulação de Feynman da MQ

- ▶ 1 obstáculo, N furos



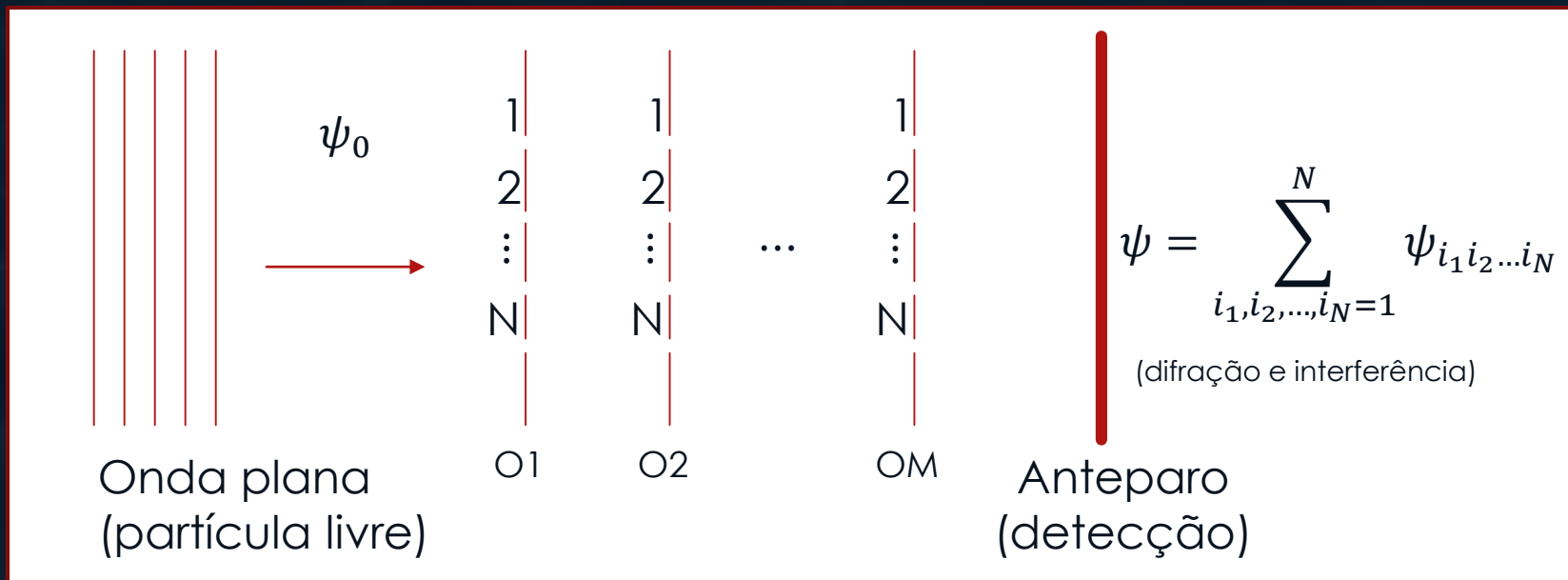
# Formulação de Feynman da MQ

- ▶ 2 obstáculos, N furos em cada um

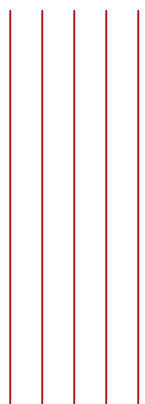


# Formulação de Feynman da MQ

- ▶ M obstáculos, N furos em cada um



# Formulação de Feynman da MQ



Onda plana  
(partícula livre)



$\psi_0$



O1



O2

...



OM



Anteparo  
(detecção)

$$\psi = \sum_{i_1, i_2, \dots, i_M=1}^N \psi_{i_1 i_2 \dots i_M}$$

(difração e interferência)

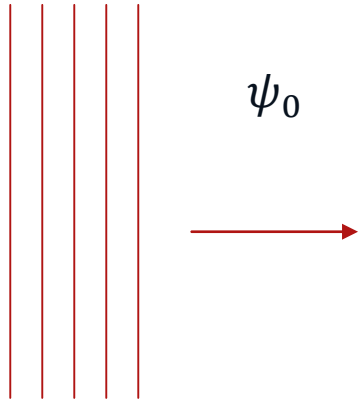
$$\psi = \sum_{i_1, i_2, \dots, i_M=1}^N \psi_{i_1 i_2 \dots i_M}$$

“soma sobre histórias”

“soma sobre trajetórias”

# Formulação de Feynman da MQ

- ▶ **Infinitos** obstáculos, **infinitos** furos em cada um



Onda plana  
(partícula livre)

A single vertical red line representing a barrier.

$$\psi = \sum_{i_1, i_2, \dots, i_\infty = 1}^{\infty} \psi_{i_1 i_2 \dots i_\infty}$$

(difração e interferência)

Anteparo  
(detecção)

# Formulação de Feynman da MQ

- ▶ A **trajetória clássica** ( $S[x]$  mínima) é a **mais provável** (mas não a única possível).
- ▶ Formulação de Feynman: valores esperados  $\rightarrow$  soma ponderada sobre **todas as funções-movimento  $x(t)$  possíveis**, com “peso”  $e^{iS[x]/\hbar}$  (diferente para cada  $x(t)$ ).
- ▶ Expressão matemática:

$$\langle \hat{x}(t_1) \hat{x}(t_2) \rangle = \frac{\int [Dx] x(t_1) x(t_2) e^{iS[x]/\hbar}}{\int [Dx] e^{iS[x]/\hbar}}$$

- ▶ O símbolo  $\int [Dx]$  significa “**integre (some) sobre todas as funções-movimento permitidas para a partícula**”: **integral funcional**.
- ▶ Muito semelhante a uma correlação entre variáveis aleatórias

$$\langle XY \rangle \equiv \text{Corr}(X, Y) \equiv \int dx dy p(x, y) x y$$

Obs.: A exponencial  $e^{iS/\hbar}$  não é real. Logo, não é uma densidade de probabilidade.

# Formulação de Feynman da MQ

- ▶ A integral sobre todas as funções  $x$  (integral funcional) surge do caráter quântico da evolução da partícula (processo estocástico).
- ▶ É possível obter a equação de Schrödinger a partir da fórmula da integral de Feynman (e vice-versa).
- ▶ Portanto, a formulação de Feynman da MQ é equivalente à de Schrödinger.
- ▶ Para problemas de Mecânica Quântica, os cálculos na formulação de Feynman são mais complicados do que na formulação de Schrödinger.
- ▶ Para campos quânticos, a situação se inverte: o formalismo funcional é muito mais poderoso!

# Formulação de Feynman da TQC

- ▶ Como aplicar as ideias de Feynman a campos quânticos?
- ▶ Partícula quântica: a posição  $x(t)$  é uma **variável aleatória**.

$$\langle \hat{x}(t_1) \hat{x}(t_2) \rangle = \frac{\int [Dx] x(t_1) x(t_2) e^{iS[x]/\hbar}}{\int [Dx] e^{iS[x]/\hbar}}$$

- ▶ Campos quânticos: o valor do campo  $\varphi(x)$  é uma **variável aleatória**.

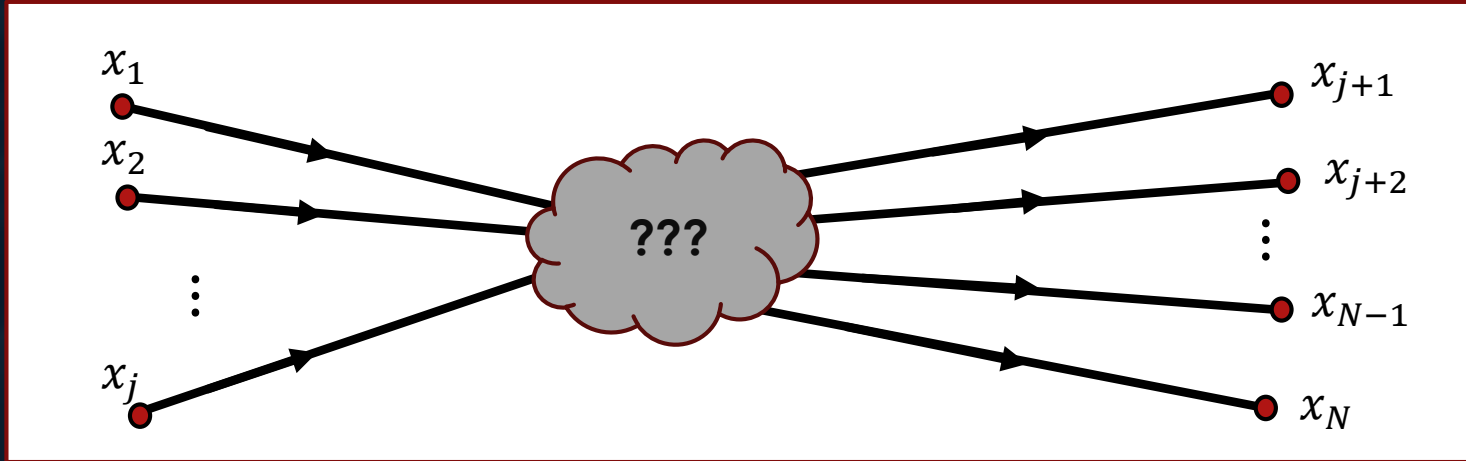
$$\langle \hat{\varphi}(x_1) \hat{\varphi}(x_2) \rangle = \frac{\int [D\varphi] \varphi(x_1) \varphi(x_2) e^{iS[\varphi]/\hbar}}{\int [D\varphi] e^{iS[\varphi]/\hbar}}$$

- ▶ O símbolo  $\int [D\varphi]$  representa “integre sobre **todas** as **configurações de campo** permitidas” (“soma sobre histórias”).

# Formulação de Feynman da TQC

- ▶ Função de N pontos (campo escalar):

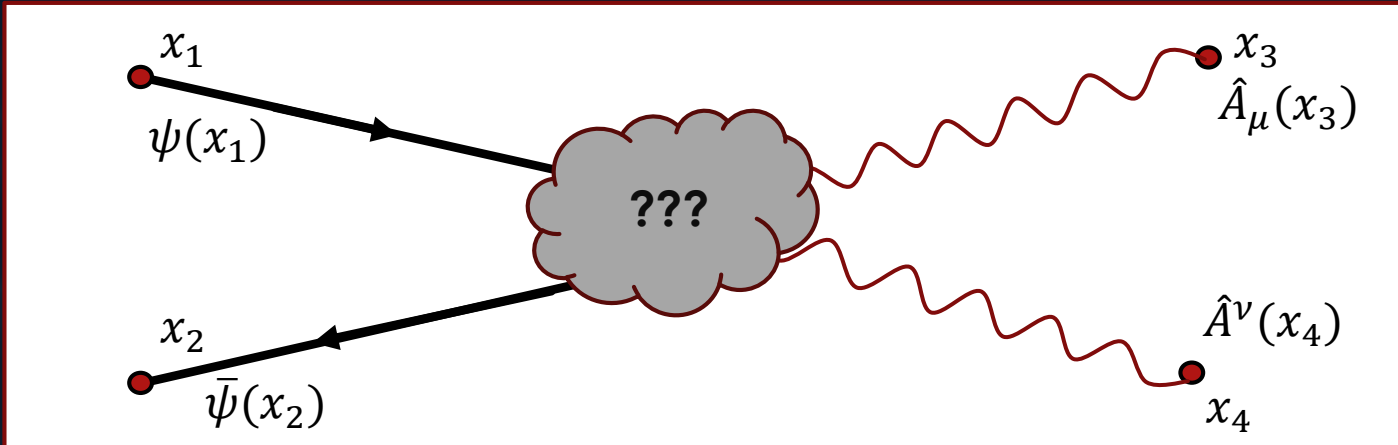
$$\langle \hat{\varphi}(x_1) \cdots \hat{\varphi}(x_N) \rangle = \frac{\int [D\varphi] \varphi(x_1) \cdots \varphi(x_N) e^{iS[\varphi]/\hbar}}{\int [D\varphi] e^{iS[\varphi]/\hbar}}$$



# Formulação de Feynman da TQC

- ▶ Função de correlação envolvendo campos diferentes:

$$\langle \hat{\psi}(x_1) \hat{\psi}(x_2) \hat{A}_\mu(x_3) \hat{A}^\nu(x_4) \rangle = \frac{\int [D\bar{\psi}][D\psi][DA] \bar{\psi}(x_1) \psi(x_2) \hat{A}_\mu(x_3) \hat{A}^\nu(x_4) e^{iS[\bar{\psi},\psi,A]/\hbar}}{\int [D\bar{\psi}][D\psi][DA] e^{iS[\bar{\psi},\psi,A]/\hbar}}$$



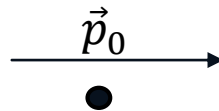
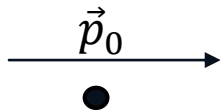
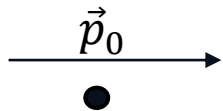
SLIDES EXTRA

# Simetrias e leis de conservação

# Simetrias e leis de conservação

- ▶ Em toda a Física há uma conexão íntima entre simetrias e leis de conservação.
- ▶ Simetria de translação  $\longleftrightarrow$  Momento linear é conservado

Se todos os pontos são equivalentes...

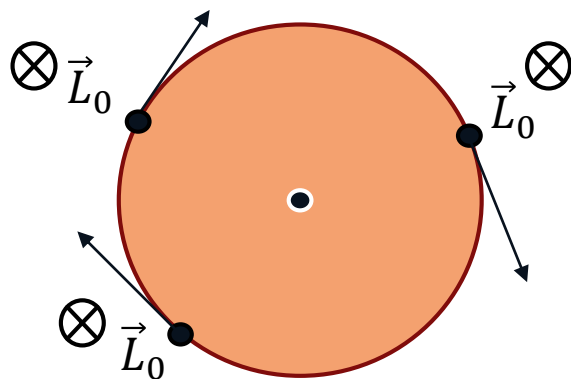


... nada pode causar uma mudança no estado de movimento.

# Simetrias e leis de conservação

- ▶ Simetria de rotação  $\longleftrightarrow$  Momento angular é conservado

Se todos os ângulos são equivalentes...



... nada pode causar uma mudança no estado de rotação.

# Simetrias e leis de conservação

▶ Matematicamente, uma **simetria contínua** se expressa através de uma **invariância da ação** sob uma dada **transformação** induzida por elementos de uma **álgebra de Lie**.

▶ Exemplos simples:

- Invariância sob translações ( $x \rightarrow x' = x + \delta x$ ):

$$L = \frac{m\dot{x}^2}{2} - U_0 \Rightarrow \ddot{x} = 0 \Rightarrow p_x \equiv m\dot{x} = \text{const.}$$

- Invariância sob rotações ( $\theta \rightarrow \theta' = \theta + \delta\theta$ ):

$$L = \frac{mr^2\dot{\theta}^2}{2} \Rightarrow \ddot{\theta} = 0 \Rightarrow l_z \equiv mr^2\dot{\theta} = \text{const.}$$

# Simetrias e leis de conservação

- ▶ A relação entre simetria e leis de conservação também é válida para campos.
- ▶ Teorema de Noether (enunciado informal):

*“Para cada simetria contínua da ação há uma quantidade conservada.”*



# Simetrias e leis de conservação

► Exemplos de simetrias em teorias de campo:

- **Translação** (no espaço-tempo) ( $x^\mu \rightarrow x'^\mu = x^\mu + \delta x^\mu$ ):

$$S = \int d^4x \left[ \frac{1}{2} (\partial_\mu \varphi(x)) (\partial^\mu \varphi(x)) + V[\varphi(x)] \right] \Rightarrow \partial_\mu T^{\mu\nu} = 0 \quad (T^{\mu\nu} \text{ é conservado})$$

Obs.:  $T^{\mu\nu} \rightarrow$  Tensor energia-momento.

- **Simetria de calibre** (simetria interna) ( $A^\mu \rightarrow A'^\mu = A^\mu - \frac{1}{e} \partial^\mu \alpha(x)$ ;  $\psi(x) \rightarrow e^{i\alpha(x)} \psi(x)$ ):

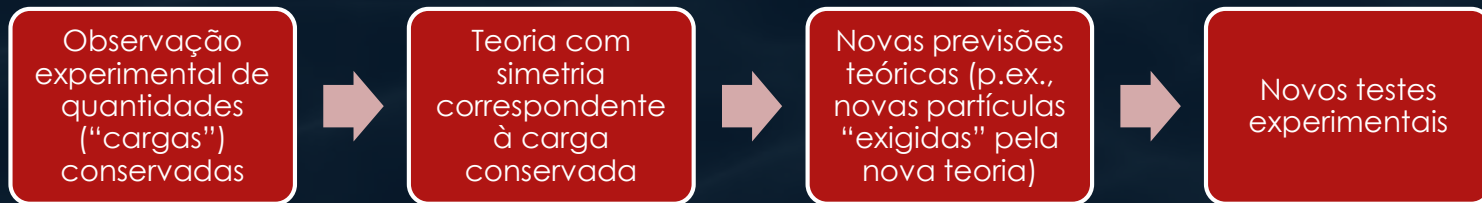
$$S = \int d^4x \left( -\frac{1}{4} F^{\mu\nu} F_{\mu\nu} + \bar{\psi} (i\gamma^\mu D_\mu - m) \psi \right) \Rightarrow \partial_\mu j^\mu = 0 \quad (Q_{elétrica} \text{ é conservada})$$

# Simetrias e leis de conservação

- ▶ Em resumo:

Simetrias ↔ Leis de conservação

- ▶ Simetrias são os principais guias para a construção de teorias.



# O Modelo Padrão

- ▶ Paradigma de construção de modelos: Modelo Padrão das Partículas Elementares (SM, “Standard Model”).
- ▶ As **operações de simetria** do SM são representadas por **álgebras de Lie**
  - Simetria de Lorentz:  **$SO(3,1)$**  (“leis da natureza iguais  $\forall$  refs. inerciais”)
  - Simetria de calibre  **$SU(3)$**  (interação forte)
  - Simetria de calibre  **$SU(2) \times U(1)$**  (interação eletrofraca)
- ▶ **Simetrias de calibre** (gauge) locais  $\rightarrow$  **Interações** [ver aula J. Borges]

# ○ Modelo Padrão

- ▶ As simetrias restringem os possíveis campos na teoria e suas interações.
- ▶ Logo, as simetrias restringem (e sugerem) os tipos possíveis de partículas.
- ▶ Lagrangeana do Modelo Padrão



Standard Model Lagrangian (including neutrino mass terms)  
 From *An Introduction to the Standard Model of Particle Physics, 2nd Edition*,  
 W. N. Cottingham and D. A. Greenwood, Cambridge University Press, Cambridge, 2007,  
 Extracted by J.A. Shillfield, updated from Particle Data Group tables at pdg.lbl.gov, 25 Aug 2013.

$$\begin{aligned}
 \mathcal{L} = & -\frac{1}{4}B_{\mu\nu}B^{\mu\nu} - \frac{1}{8}\text{tr}(\mathbf{W}_{\mu\nu}\mathbf{W}^{\mu\nu}) - \frac{1}{2}\text{tr}(\mathbf{G}_{\mu\nu}\mathbf{G}^{\mu\nu}) && (U(1), SU(2) \text{ and } SU(3) \text{ gauge terms}) \\
 & +(\bar{\nu}_L, \epsilon_L)\partial^\mu iD_\mu \begin{pmatrix} \nu_L \\ e_L \end{pmatrix} + \epsilon_R\sigma^\mu iD_\mu e_R + \nu_R\sigma^\mu iD_\mu \nu_R + (\text{h.c.}) && (\text{lepton dynamical term}) \\
 & -\frac{\sqrt{2}}{v}(\nu_L, \epsilon_L)\phi M^e e_R + \epsilon_R M^e \bar{\phi} \begin{pmatrix} \nu_L \\ e_L \end{pmatrix} && (\text{electron, muon, tauon mass term}) \\
 & -\frac{\sqrt{2}}{v}(-\bar{e}_L, \nu_L)\phi^* M^\nu \nu_R + \nu_R M^\nu \phi^T \begin{pmatrix} -e_L \\ \nu_L \end{pmatrix} && (\text{neutrino mass term}) \\
 & +(\bar{u}_L, \bar{d}_L)\partial^\mu iD_\mu \begin{pmatrix} u_L \\ d_L \end{pmatrix} + u_R\sigma^\mu iD_\mu u_R + \bar{d}_R\sigma^\mu iD_\mu \bar{d}_R + (\text{h.c.}) && (\text{quark dynamical term}) \\
 & -\frac{\sqrt{2}}{v}(\bar{u}_L, \bar{d}_L)\phi M^d d_R + \bar{d}_R M^d \bar{\phi} \begin{pmatrix} u_L \\ d_L \end{pmatrix} && (\text{down, strange, bottom mass term}) \\
 & -\frac{\sqrt{2}}{v}(-\bar{d}_L, u_L)\phi^* M^u u_R + u_R M^u \phi^T \begin{pmatrix} -d_L \\ u_L \end{pmatrix} && (\text{up, charmed, top mass term}) \\
 & +(\bar{D}_\mu\phi)D^\mu\phi - m_\phi^2[\bar{\phi}\phi - v^2/2]^2/2v^2. && (\text{Higgs dynamical and mass term}) \quad (1)
 \end{aligned}$$

where (h.c.) means Hermitian conjugate of preceding terms,  $\bar{\psi} = (\text{h.c.})\psi^\dagger = \psi^\dagger$ , and the derivative operators are

$$D_\mu \begin{pmatrix} \nu_L \\ e_L \end{pmatrix} = \left[ \partial_\mu - \frac{ig_1}{2}B_\mu + \frac{ig_2}{2}\mathbf{W}_\mu \right] \begin{pmatrix} \nu_L \\ e_L \end{pmatrix}, \quad D_\mu \begin{pmatrix} u_L \\ d_L \end{pmatrix} = \left[ \partial_\mu + \frac{ig_1}{6}B_\mu + \frac{ig_2}{2}\mathbf{W}_\mu + ig\mathbf{C}_\mu \right] \begin{pmatrix} u_L \\ d_L \end{pmatrix}, \quad (2)$$

$$D_\mu \nu_R = \partial_\mu \nu_R, \quad D_\mu e_R = [\partial_\mu - ig_1 B_\mu] e_R, \quad D_\mu u_R = \left[ \partial_\mu + \frac{ig_1}{3}B_\mu + ig\mathbf{C}_\mu \right] u_R, \quad D_\mu d_R = \left[ \partial_\mu - \frac{ig_1}{3}B_\mu + ig\mathbf{C}_\mu \right] d_R, \quad (3)$$

$$D_\mu \phi = \left[ \partial_\mu + \frac{ig_1}{2}B_\mu + \frac{ig_2}{2}\mathbf{W}_\mu \right] \phi. \quad (4)$$

$\phi$  is a 2-component complex Higgs field. Since  $\mathcal{L}$  is  $SU(2)$  gauge invariant, a gauge can be chosen so  $\phi$  has the form

$$\phi^T = (0, v + h)/\sqrt{2}, \quad \langle \phi \rangle_0^T = (\text{expectation value of } \phi) = (0, v)/\sqrt{2}, \quad (5)$$

where  $v$  is a real constant such that  $\mathcal{L}_\phi = \overline{(\partial_\mu\phi)}\partial^\mu\phi - m_\phi^2[\bar{\phi}\phi - v^2/2]^2/2v^2$  is minimized, and  $h$  is a residual Higgs field.  $B_\mu$ ,  $\mathbf{W}_\mu$  and  $\mathbf{G}_\mu$  are the gauge boson vector potentials, and  $\mathbf{W}_\mu$  and  $\mathbf{G}_\mu$  are composed of  $2 \times 2$  and  $3 \times 3$  traceless Hermitian matrices. Their associated field tensors are

$$B_{\mu\nu} = \partial_\mu B_\nu - \partial_\nu B_\mu, \quad \mathbf{W}_{\mu\nu} = \partial_\mu \mathbf{W}_\nu - \partial_\nu \mathbf{W}_\mu + ig_2(\mathbf{W}_\mu \mathbf{W}_\nu - \mathbf{W}_\nu \mathbf{W}_\mu)/2, \quad \mathbf{G}_{\mu\nu} = \partial_\mu \mathbf{G}_\nu - \partial_\nu \mathbf{G}_\mu + ig(\mathbf{G}_\mu \mathbf{G}_\nu - \mathbf{G}_\nu \mathbf{G}_\mu). \quad (6)$$

The non-matrix  $A_\mu$ ,  $Z_\mu$ ,  $W_\mu^\pm$  bosons are mixtures of  $\mathbf{W}_\mu$  and  $B_\mu$  components, according to the weak mixing angle  $\theta_w$ ,

$$A_\mu = W_{11\mu} \sin\theta_w + B_\mu \cos\theta_w, \quad Z_\mu = W_{11\mu} \cos\theta_w - B_\mu \sin\theta_w, \quad W_\mu^\pm = W_{2\mu}^\pm - W_{12\mu}^\pm/\sqrt{2}, \quad (7)$$

$$B_\mu = A_\mu \cos\theta_w - Z_\mu \sin\theta_w, \quad W_{11\mu} = -W_{22\mu} = A_\mu \sin\theta_w + Z_\mu \cos\theta_w, \quad W_{12\mu} = W_{21\mu}^* = \sqrt{2}W_\mu^\pm, \quad \sin^2\theta_w = .2315(4). \quad (8)$$

The fermions include the leptons  $e_R, \epsilon_L, \nu_R, \nu_L$  and quarks  $u_R, u_L, d_R, d_L$ . They all have implicit 3-component generation indices,  $\epsilon_i = (e, \mu, \tau)$ ,  $\nu_i = (\nu_e, \nu_\mu, \nu_\tau)$ ,  $u_i = (u, c, t)$ ,  $d_i = (d, s, b)$ , which contract into the fermion mass matrices  $M_{ij}^e, M_{ij}^\nu, M_{ij}^d, M_{ij}^u$ , and implicit 2-component indices which contract into the Pauli matrices,

$$\sigma^\mu = \left[ \begin{pmatrix} 1 & 0 \\ 0 & 1 \end{pmatrix}, \begin{pmatrix} 0 & 1 \\ 1 & 0 \end{pmatrix}, \begin{pmatrix} 0 & -i \\ i & 0 \end{pmatrix}, \begin{pmatrix} 1 & 0 \\ 0 & -1 \end{pmatrix} \right], \quad \bar{\sigma}^\mu = [\sigma^0, -\sigma^1, -\sigma^2, -\sigma^3], \quad \text{tr}(\sigma^i) = 0, \quad \sigma^{\mu i} = \sigma^\mu, \quad \text{tr}(\sigma^\mu \sigma^\nu) = 2\delta^{\mu\nu}. \quad (9)$$

The quarks also have implicit 3-component color indices which contract into  $\mathbf{C}_\mu$ . So  $\mathcal{L}$  really has implicit sums over 3-component generation indices, 2-component Pauli indices, 3-component color indices in the quark terms, and 2-component  $SU(2)$  indices in  $(\nu_L, \epsilon_L), (u_L, d_L), (-e_L, \nu_L), (-d_L, u_L), \phi, \mathbf{W}_\mu, \begin{pmatrix} \nu_L \\ e_L \end{pmatrix}, \begin{pmatrix} u_L \\ d_L \end{pmatrix}, \begin{pmatrix} -e_L \\ \nu_L \end{pmatrix}, \begin{pmatrix} -d_L \\ u_L \end{pmatrix}, \bar{\phi}$ .

# O Modelo Padrão

mass →	≈2.3 MeV/c <sup>2</sup>	≈1.375 GeV/c <sup>2</sup>	≈173.87 GeV/c <sup>2</sup>	0	≈126 GeV/c <sup>2</sup>
charge →	2/3	2/3	2/3	0	0
spin →	1/2	1/2	1/2	1	0
	<b>u</b> up	<b>c</b> charm	<b>t</b> top	<b>g</b> gluon	<b>H</b> Higgs boson
<b>QUARKS</b>					
	≈4.8 MeV/c <sup>2</sup>	≈95 MeV/c <sup>2</sup>	≈4.18 GeV/c <sup>2</sup>	0	
	-1/3	-1/3	-1/3	0	
	1/2	1/2	1/2	1	
	<b>d</b> down	<b>s</b> strange	<b>b</b> bottom	<b>γ</b> photon	
	0.511 MeV/c <sup>2</sup>	105.7 MeV/c <sup>2</sup>	1.777 GeV/c <sup>2</sup>	91.2 GeV/c <sup>2</sup>	
	-1	-1	-1	0	
	1/2	1/2	1/2	1	
	<b>e</b> electron	<b>μ</b> muon	<b>τ</b> tau	<b>Z</b> Z boson	
<b>LEPTONS</b>					
	≈2.2 eV/c <sup>2</sup>	≈0.17 MeV/c <sup>2</sup>	≈15.5 MeV/c <sup>2</sup>	80.4 GeV/c <sup>2</sup>	
	0	0	0	±1	
	1/2	1/2	1/2	1	
	<b>ν<sub>e</sub></b> electron neutrino	<b>ν<sub>μ</sub></b> muon neutrino	<b>ν<sub>τ</sub></b> tau neutrino	<b>W</b> W boson	
				<b>GAUGE BOSONS</b>	

Standard Model Lagrangian (including neutrino mass terms)  
 From *An Introduction to the Standard Model of Particle Physics, 2nd Edition*,  
 W. N. Cottingham and D. A. Greenwood, Cambridge University Press, Cambridge, 2007,  
 Extracted by J. A. Shillfield, updated from Particle Data Group tables at pdg.lbl.gov, 25 Aug 2013.

$$\begin{aligned}
 \mathcal{L} = & -\frac{1}{4}B_{\mu\nu}B^{\mu\nu} - \frac{1}{8}\text{tr}(\mathbf{W}_{\mu\nu}\mathbf{W}^{\mu\nu}) - \frac{1}{2}\text{tr}(\mathbf{G}_{\mu\nu}\mathbf{G}^{\mu\nu}) && \text{(U(1), SU(2) and SU(3) gauge terms)} \\
 & +(\bar{\nu}_L, \bar{e}_L)\bar{\sigma}^\mu iD_\mu \begin{pmatrix} \nu_L \\ e_L \end{pmatrix} + \bar{e}_R\sigma^\mu iD_\mu e_R + \bar{\nu}_R\sigma^\mu iD_\mu \nu_R + \text{(h.c.)} && \text{(lepton dynamical term)} \\
 & -\frac{\sqrt{2}}{v}[(\bar{\nu}_L, \bar{e}_L)\phi M^e e_R + \bar{e}_R M^e \phi \begin{pmatrix} \nu_L \\ e_L \end{pmatrix}] && \text{(electron, muon, tauon mass term)} \\
 & -\frac{\sqrt{2}}{v}[(-\bar{e}_L, \bar{\nu}_L)\phi^* M^\nu \nu_R + \bar{\nu}_R M^\nu \phi^T \begin{pmatrix} \nu_L \\ e_L \end{pmatrix}] && \text{(neutrino mass term)} \\
 & +(\bar{u}_L, \bar{d}_L)\bar{\sigma}^\mu iD_\mu \begin{pmatrix} u_L \\ d_L \end{pmatrix} + \bar{u}_R\sigma^\mu iD_\mu u_R + \bar{d}_R\sigma^\mu iD_\mu d_R + \text{(h.c.)} && \text{(quark dynamical term)} \\
 & -\frac{\sqrt{2}}{v}[(\bar{u}_L, \bar{d}_L)\phi M^d d_R + \bar{d}_R M^d \phi \begin{pmatrix} u_L \\ d_L \end{pmatrix}] && \text{(down, strange, bottom mass term)} \\
 & -\frac{\sqrt{2}}{v}[(-\bar{d}_L, \bar{u}_L)\phi^* M^u u_R + \bar{u}_R M^u \phi^T \begin{pmatrix} -d_L \\ u_L \end{pmatrix}] && \text{(up, charmed, top mass term)} \\
 & +(\bar{D}_\mu\phi)D^\mu\phi - m_H^2[\bar{\phi}\phi - v^2/2]^2/2v^2. && \text{(Higgs dynamical and mass term)} \quad (1)
 \end{aligned}$$

where (h.c.) means Hermitian conjugate of preceding terms,  $\bar{\psi} = (\text{h.c.})\psi^\dagger = \psi^\dagger \gamma^0$ , and the derivative operators are

$$D_\mu \begin{pmatrix} \nu_L \\ e_L \end{pmatrix} = \left[ \partial_\mu - \frac{ig_1}{2}B_\mu + \frac{ig_2}{2}\mathbf{W}_\mu \right] \begin{pmatrix} \nu_L \\ e_L \end{pmatrix}, \quad D_\mu \begin{pmatrix} u_L \\ d_L \end{pmatrix} = \left[ \partial_\mu + \frac{ig_1}{6}B_\mu + \frac{ig_2}{2}\mathbf{W}_\mu + ig\mathbf{C}_\mu \right] \begin{pmatrix} u_L \\ d_L \end{pmatrix}, \quad (2)$$

$$D_\mu \nu_R = \partial_\mu \nu_R, \quad D_\mu e_R = [\partial_\mu - ig_1 B_\mu] e_R, \quad D_\mu u_R = \left[ \partial_\mu + \frac{ig_1}{3}B_\mu + ig\mathbf{C}_\mu \right] u_R, \quad D_\mu d_R = \left[ \partial_\mu - \frac{ig_1}{3}B_\mu + ig\mathbf{C}_\mu \right] d_R, \quad (3)$$

$$D_\mu \phi = \left[ \partial_\mu + \frac{ig_1}{2}B_\mu + \frac{ig_2}{2}\mathbf{W}_\mu \right] \phi. \quad (4)$$

$\phi$  is a 2-component complex Higgs field. Since  $\mathcal{L}$  is  $SU(2)$  gauge invariant, a gauge can be chosen so  $\phi$  has the form

$$\phi^T = (0, v + h)/\sqrt{2}, \quad \langle \phi \rangle_0^T = (\text{expectation value of } \phi) = (0, v)/\sqrt{2}, \quad (5)$$

where  $v$  is a real constant such that  $\mathcal{L}_\phi = \overline{(\partial_\mu\phi)\partial^\mu\phi} - m_H^2[\bar{\phi}\phi - v^2/2]^2/2v^2$  is minimized, and  $h$  is a residual Higgs field.  $B_\mu$ ,  $\mathbf{W}_\mu$  and  $\mathbf{G}_\mu$  are the gauge boson vector potentials, and  $\mathbf{W}_\mu$  and  $\mathbf{C}_\mu$  are composed of  $2 \times 2$  and  $3 \times 3$  traceless Hermitian matrices. Their associated field tensors are

$$B_{\mu\nu} = \partial_\mu B_\nu - \partial_\nu B_\mu, \quad \mathbf{W}_{\mu\nu} = \partial_\mu \mathbf{W}_\nu - \partial_\nu \mathbf{W}_\mu + ig_2(\mathbf{W}_\mu \mathbf{W}_\nu - \mathbf{W}_\mu \mathbf{W}_\nu), \quad \mathbf{G}_{\mu\nu} = \partial_\mu \mathbf{G}_\nu - \partial_\nu \mathbf{G}_\mu + ig(\mathbf{G}_\mu \mathbf{G}_\nu - \mathbf{G}_\nu \mathbf{G}_\mu). \quad (6)$$

The non-matrix  $A_\mu, Z_\mu, W_\mu^\pm$  bosons are mixtures of  $\mathbf{W}_\mu$  and  $B_\mu$  components, according to the weak mixing angle  $\theta_w$ .

$$A_\mu = W_{1\mu} \sin\theta_w + B_\mu \cos\theta_w, \quad Z_\mu = W_{1\mu} \cos\theta_w - B_\mu \sin\theta_w, \quad W_\mu^\pm = W_{2\mu}^\pm - W_{3\mu}^\pm/\sqrt{2}, \quad (7)$$

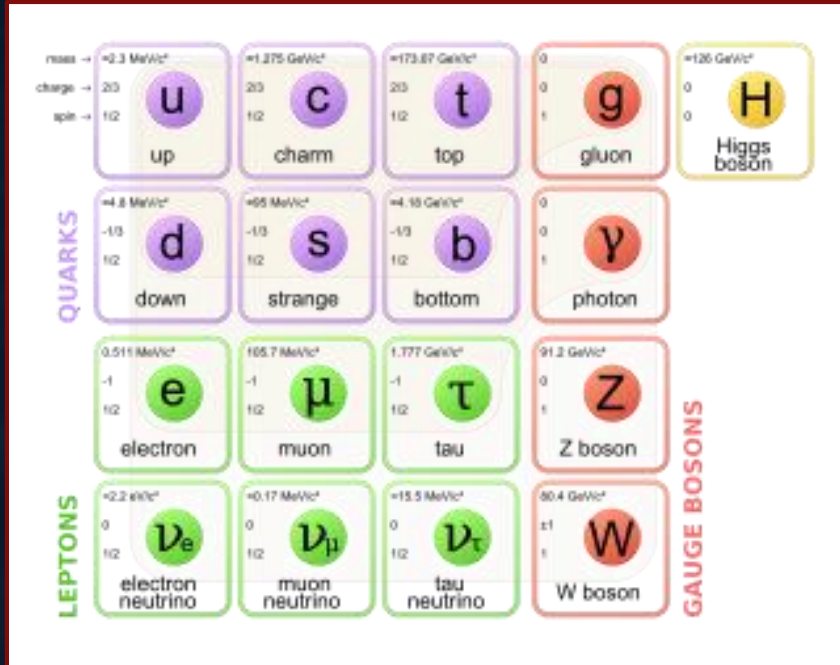
$$B_\mu = A_\mu \cos\theta_w - Z_\mu \sin\theta_w, \quad W_{1\mu} = -W_{2\mu} = A_\mu \sin\theta_w + Z_\mu \cos\theta_w, \quad W_{3\mu} = W_{2\mu}^* = \sqrt{2}W_\mu^\pm, \quad \sin^2\theta_w = .2315(4). \quad (8)$$

The fermions include the leptons  $e_R, e_L, \nu_R, \nu_L$  and quarks  $u_R, u_L, d_R, d_L$ . They all have implicit 3-component generation indices,  $e_i = (e, \mu, \tau)$ ,  $\nu_i = (\nu_e, \nu_\mu, \nu_\tau)$ ,  $u_i = (u, c, t)$ ,  $d_i = (d, s, b)$ , which contract into the fermion mass matrices  $M_{ij}^e, M_{ij}^\nu, M_{ij}^d, M_{ij}^u$ , and implicit 2-component indices which contract into the Pauli matrices,

$$\sigma^\mu = \left[ \begin{pmatrix} 1 & 0 \\ 0 & 1 \end{pmatrix}, \begin{pmatrix} 0 & 1 \\ 1 & 0 \end{pmatrix}, \begin{pmatrix} 0 & -i \\ i & 0 \end{pmatrix}, \begin{pmatrix} 1 & 0 \\ 0 & -1 \end{pmatrix} \right], \quad \bar{\sigma}^\mu = [\sigma^0, -\sigma^1, -\sigma^2, -\sigma^3], \quad \text{tr}(\sigma^\mu) = 0, \quad \sigma^{\mu\dagger} = \sigma^\mu, \quad \text{tr}(\sigma^\mu \sigma^\nu) = 2\delta^{\mu\nu}. \quad (9)$$

The quarks also have implicit 3-component color indices which contract into  $\mathbf{C}_\mu$ . So  $\mathcal{L}$  really has implicit sums over 3-component generation indices, 2-component Pauli indices, 3-component color indices in the quark terms, and 2-component  $SU(2)$  indices in  $(\nu_L, e_L), (u_L, d_L), (-e_L, \nu_L), (-d_L, u_L), \phi, \mathbf{W}_\mu, \begin{pmatrix} u_L \\ d_L \end{pmatrix}, \begin{pmatrix} u_R \\ d_R \end{pmatrix}, \begin{pmatrix} -d_L \\ u_L \end{pmatrix}, \begin{pmatrix} -d_R \\ u_R \end{pmatrix}, \phi$ .

# O Modelo Padrão



Standard Model Lagrangian (including neutrino mass terms)  
 From *An Introduction to the Standard Model of Particle Physics, 2nd Edition*,  
 W. N. Cottingham and D. A. Greenwood, Cambridge University Press, Cambridge, 2007,  
 Extracted by J.A. Shillflett, updated from Particle Data Group tables at pdg.lbl.gov, 25 Aug 2013.

$$\begin{aligned}
 \mathcal{L} = & -\frac{1}{4}B_{\mu\nu}B^{\mu\nu} - \frac{1}{8}\text{tr}(\mathbf{W}_{\mu\nu}\mathbf{W}^{\mu\nu}) - \frac{1}{2}\text{tr}(\mathbf{G}_{\mu\nu}\mathbf{G}^{\mu\nu}) && \text{(U(1), SU(2) and SU(3) gauge terms)} \\
 & +(\bar{\nu}_L, \bar{e}_L)\bar{\sigma}^{\mu}iD_{\mu}\begin{pmatrix} \nu_L \\ e_L \end{pmatrix} + \bar{e}_R\sigma^{\mu}iD_{\mu}e_R + \bar{\nu}_R\sigma^{\mu}iD_{\mu}\nu_R + \text{(h.c.)} && \text{(lepton dynamical term)} \\
 & -\frac{\sqrt{2}}{v}\left[(\bar{\nu}_L, \bar{e}_L)\phi M^e e_R + \bar{e}_R M^e \phi\begin{pmatrix} \nu_L \\ e_L \end{pmatrix}\right] && \text{(electron, muon, tauon mass term)} \\
 & -\frac{\sqrt{2}}{v}\left[(-\bar{e}_L, \bar{\nu}_L)\phi^* M^{\nu}\nu_R + \bar{\nu}_R M^{\nu}\phi^T\begin{pmatrix} \nu_L \\ e_L \end{pmatrix}\right] && \text{(neutrino mass term)} \\
 & +(\bar{u}_L, \bar{d}_L)\bar{\sigma}^{\mu}iD_{\mu}\begin{pmatrix} u_L \\ d_L \end{pmatrix} + \bar{u}_R\sigma^{\mu}iD_{\mu}u_R + \bar{d}_R\sigma^{\mu}iD_{\mu}d_R + \text{(h.c.)} && \text{(quark dynamical term)} \\
 & -\frac{\sqrt{2}}{v}\left[(\bar{u}_L, \bar{d}_L)\phi M^d d_R + \bar{d}_R M^d \phi\begin{pmatrix} u_L \\ d_L \end{pmatrix}\right] && \text{(down, strange, bottom mass term)} \\
 & -\frac{\sqrt{2}}{v}\left[(-\bar{d}_L, \bar{u}_L)\phi^* M^u u_R + \bar{u}_R M^u \phi^T\begin{pmatrix} -d_L \\ u_L \end{pmatrix}\right] && \text{(up, charmed, top mass term)} \\
 & +(\bar{D}_\mu\phi)D^{\mu}\phi - m_H^2[\bar{\phi}\phi - v^2/2]^2/2v^2. && \text{(Higgs dynamical and mass term)} \quad (1)
 \end{aligned}$$

where (h.c.) means Hermitian conjugate of preceding terms,  $\bar{\psi} = (\text{h.c.})\psi = \psi^\dagger = \psi^\dagger \gamma^0$ , and the derivative operators are

$$D_{\mu}\begin{pmatrix} \nu_L \\ e_L \end{pmatrix} = \left[\partial_{\mu} - \frac{ig_1}{2}B_{\mu} + \frac{ig_2}{2}\mathbf{W}_{\mu}\right]\begin{pmatrix} \nu_L \\ e_L \end{pmatrix}, \quad D_{\mu}\begin{pmatrix} u_L \\ d_L \end{pmatrix} = \left[\partial_{\mu} + \frac{ig_1}{6}B_{\mu} + \frac{ig_2}{2}\mathbf{W}_{\mu} + ig\mathbf{C}_{\mu}\right]\begin{pmatrix} u_L \\ d_L \end{pmatrix}, \quad (2)$$

$$D_{\mu}\nu_R = \partial_{\mu}\nu_R, \quad D_{\mu}e_R = [\partial_{\mu} - ig_1 B_{\mu}]e_R, \quad D_{\mu}u_R = \left[\partial_{\mu} + \frac{ig_1}{3}B_{\mu} + ig\mathbf{C}_{\mu}\right]u_R, \quad D_{\mu}d_R = \left[\partial_{\mu} - \frac{ig_1}{3}B_{\mu} + ig\mathbf{C}_{\mu}\right]d_R, \quad (3)$$

$$D_{\mu}\phi = \left[\partial_{\mu} + \frac{ig_1}{2}B_{\mu} + \frac{ig_2}{2}\mathbf{W}_{\mu}\right]\phi. \quad (4)$$

$\phi$  is a 2-component complex Higgs field. Since  $\mathcal{L}$  is  $SU(2)$  gauge invariant, a gauge can be chosen so  $\phi$  has the form

$$\phi^T = (0, v + h)/\sqrt{2}, \quad \langle\phi\rangle_0^T = (\text{expectation value of } \phi) = (0, v)/\sqrt{2}, \quad (5)$$

where  $v$  is a real constant such that  $\mathcal{L}_{\phi} = \overline{(\partial_{\mu}\phi)\partial^{\mu}\phi} - m_H^2[\bar{\phi}\phi - v^2/2]^2/2v^2$  is minimized, and  $h$  is a residual Higgs field.  $B_{\mu}$ ,  $\mathbf{W}_{\mu}$  and  $\mathbf{G}_{\mu}$  are the gauge boson vector potentials, and  $\mathbf{W}_{\mu}$  and  $\mathbf{C}_{\mu}$  are composed of  $2 \times 2$  and  $3 \times 3$  traceless Hermitian matrices. Their associated field tensors are

$$B_{\mu\nu} = \partial_{\mu}B_{\nu} - \partial_{\nu}B_{\mu}, \quad \mathbf{W}_{\mu\nu} = \partial_{\mu}\mathbf{W}_{\nu} - \partial_{\nu}\mathbf{W}_{\mu} + ig_2(\mathbf{W}_{\mu}\mathbf{W}_{\nu} - \mathbf{W}_{\mu}\mathbf{W}_{\nu})/2, \quad \mathbf{G}_{\mu\nu} = \partial_{\mu}\mathbf{G}_{\nu} - \partial_{\nu}\mathbf{G}_{\mu} + ig(\mathbf{G}_{\mu}\mathbf{G}_{\nu} - \mathbf{G}_{\nu}\mathbf{G}_{\mu}). \quad (6)$$

The non-matrix  $A_{\mu}$ ,  $Z_{\mu}$ ,  $W_{\mu}^{\pm}$  bosons are mixtures of  $\mathbf{W}_{\mu}$  and  $B_{\mu}$  components, according to the weak mixing angle  $\theta_w$ .

$$\begin{aligned}
 A_{\mu} &= W_{1\mu}\sin\theta_w + B_{\mu}\cos\theta_w, & Z_{\mu} &= W_{3\mu}\cos\theta_w - B_{\mu}\sin\theta_w, & W_{\mu}^{\pm} &= W_{\mu}^{\pm} = W_{2\mu}^{\pm}/\sqrt{2}, & (7) \\
 B_{\mu} &= A_{\mu}\cos\theta_w - Z_{\mu}\sin\theta_w, & W_{1\mu} &= -W_{2\mu} = A_{\mu}\sin\theta_w + Z_{\mu}\cos\theta_w, & W_{3\mu} &= W_{2\mu}^* = \sqrt{2}W_{\mu}^{\pm}, & \sin^2\theta_w &= .2315(4). & (8)
 \end{aligned}$$

The fermions include the leptons  $e_R, e_L, \nu_R, \nu_L$  and quarks  $u_R, u_L, d_R, d_L$ . They all have implicit 3-component generation indices,  $e_i = (e, \mu, \tau)$ ,  $\nu_i = (\nu_e, \nu_{\mu}, \nu_{\tau})$ ,  $u_i = (u, c, t)$ ,  $d_i = (d, s, b)$ , which contract into the fermion mass matrices  $M_{ij}^e, M_{ij}^{\nu}, M_{ij}^u, M_{ij}^d$ , and implicit 2-component indices which contract into the Pauli matrices,

$$\sigma^{\mu} = \begin{pmatrix} 1 & 0 \\ 0 & 1 \end{pmatrix}, \begin{pmatrix} 0 & 1 \\ 1 & 0 \end{pmatrix}, \begin{pmatrix} 0 & -i \\ i & 0 \end{pmatrix}, \begin{pmatrix} 1 & 0 \\ 0 & -1 \end{pmatrix}, \quad \sigma^{\mu} = [\sigma^0, \sigma^1, \sigma^2, \sigma^3], \quad \text{tr}(\sigma^{\mu}) = 0, \quad \sigma^{\mu\dagger} = \sigma^{\mu}, \quad \text{tr}(\sigma^{\mu}\sigma^{\nu}) = 2\delta^{\mu\nu}. \quad (9)$$

The quarks also have implicit 3-component color indices which contract into  $\mathbf{C}_{\mu}$ . So  $\mathcal{L}$  really has implicit sums over 3-component generation indices, 2-component Pauli indices, 3-component color indices in the quark terms, and 2-component  $SU(2)$  indices in  $(\nu_L, e_L), (u_L, d_L), (-e_L, \nu_L), (-d_L, u_L), \phi, \mathbf{W}_{\mu}, \begin{pmatrix} \nu_L \\ e_L \end{pmatrix}, \begin{pmatrix} u_L \\ d_L \end{pmatrix}, \begin{pmatrix} -d_L \\ u_L \end{pmatrix}, \bar{\nu}_L, \bar{e}_L, \bar{u}_L, \bar{d}_L, \phi$ .

# O Modelo Padrão

	mass →	charge →	spin →																					
QUARKS	→0.3 MeV/c <sup>2</sup>	2/3	1/2	<b>u</b>	up	→1.375 GeV/c <sup>2</sup>	2/3	1/2	<b>c</b>	charm	→173.87 GeV/c <sup>2</sup>	2/3	1/2	<b>t</b>	top	0	1	<b>g</b>	gluon	→126 GeV/c <sup>2</sup>	0	0	<b>H</b>	Higgs boson
	→4.8 MeV/c <sup>2</sup>	-1/3	1/2	<b>d</b>	down	→95 MeV/c <sup>2</sup>	-1/3	1/2	<b>s</b>	strange	→4.18 GeV/c <sup>2</sup>	-1/3	1/2	<b>b</b>	bottom	0	1	<b>γ</b>	photon					
	0.511 MeV/c <sup>2</sup>	-1	1/2	<b>e</b>	electron	→105.7 MeV/c <sup>2</sup>	1	1/2	<b>μ</b>	muon	→1.777 GeV/c <sup>2</sup>	-1	1/2	<b>τ</b>	tau	0	1	<b>Z</b>	Z boson					
	→2.2 eV/c <sup>2</sup>	0	1/2	<b>ν<sub>e</sub></b>	electron neutrino	→0.17 MeV/c <sup>2</sup>	0	1/2	<b>ν<sub>μ</sub></b>	muon neutrino	→15.5 MeV/c <sup>2</sup>	0	1/2	<b>ν<sub>τ</sub></b>	tau neutrino	0	1	<b>W</b>	W boson					
LEPTONS																								

$$\begin{aligned}
 \mathcal{L} \rightarrow & -\frac{1}{4}B_{\mu\nu}B^{\mu\nu} - \frac{1}{8}tr(W_{\mu\nu}W^{\mu\nu}) - \frac{1}{2}tr(G_{\mu\nu}G^{\mu\nu}) \\
 & + (\nu_L, e_L) \bar{\sigma}^\mu i D_\mu \begin{pmatrix} \nu_L \\ e_L \end{pmatrix} + \bar{e}_R \sigma^\mu i D_\mu e_R + \nu_R \sigma^\mu i D_\mu \nu_R + (\text{h.c.}) \\
 & - \frac{\sqrt{2}}{v} \left[ (\nu_L, e_L) \phi M^e e_R + \bar{e}_R M^e \bar{\phi} \begin{pmatrix} \nu_L \\ e_L \end{pmatrix} \right] \\
 & - \frac{\sqrt{2}}{v} \left[ (-\bar{e}_L, \nu_L) \phi^* M^\nu \nu_R + \nu_R M^\nu \phi^T \begin{pmatrix} -e_L \\ \nu_L \end{pmatrix} \right] \\
 & + (u_L, \bar{d}_L) \bar{\sigma}^\mu i D_\mu \begin{pmatrix} u_L \\ \bar{d}_L \end{pmatrix} + \bar{u}_R \sigma^\mu i D_\mu u_R + \bar{d}_R \sigma^\mu i D_\mu d_R + (\text{h.c.}) \\
 & - \frac{\sqrt{2}}{v} \left[ (u_L, \bar{d}_L) \phi M^d d_R + \bar{d}_R M^d \bar{\phi} \begin{pmatrix} u_L \\ \bar{d}_L \end{pmatrix} \right] \\
 & - \frac{\sqrt{2}}{v} \left[ (-\bar{d}_L, u_L) \phi^* M^u u_R + \bar{u}_R M^u \phi^T \begin{pmatrix} -d_L \\ u_L \end{pmatrix} \right] \\
 & + (D_\mu \phi) D^\mu \phi - m_h^2 [\bar{\phi} \phi - v^2/2]^2 / 2v^2.
 \end{aligned}$$

# Na próxima aula

- ▶ Interações fortes e o problema do confinamento
- ▶ Teorias efetivas para as interações fortes
- ▶ Teoria de campos a temperatura finita

MATERIAL EXTRA

# Unidades naturais

- ▶ Muito utilizadas em TQC (e versões análogas são usadas em outras áreas. Ex.: gravitação, mec. estatística, ...).

$$\hbar = c = 1$$

- ▶ Ex. 1:  $c = \lambda f \Rightarrow^{(c=1)} \lambda' = 1/f'$   
 $\lambda' = \lambda; f' = \frac{f}{c}; [\lambda] = [\lambda'] = L; [f'] = L^{-1}$   
 $f = 30\text{MHz}; f' = 0,1\text{m}^{-1}; \lambda = 10\text{ m}$

# Unidades naturais

$$\underline{\text{Ex. 2:}} \quad p = \frac{h}{\lambda} = \hbar k \quad \Rightarrow^{(\hbar=1)} \quad p' = \frac{2\pi}{\lambda'} = k' = k$$

$$[p'] = [\lambda']^{-1} = L^{-1}$$

$$p = 2,1 \times 10^{-20} \text{kg} \cdot \text{ms}^{-1}; \quad p' = \frac{p}{\hbar} \simeq 2 \times 10^{14} \text{m}^{-1}$$

$$\underline{\text{Ex. 3:}} \quad m = \frac{E}{c^2} \quad \Rightarrow^{(c=1)} \quad m' = E'$$

$$[E'] = [m'] = [E]$$

$$E = 10 \text{MeV}; \quad m' = 10 \text{MeV} \quad \Rightarrow \quad m \simeq$$

# Unidades naturais

Ex. 4: Parâmetro de massa

$$\mathcal{L}[\varphi, \partial_\mu \varphi] = \frac{1}{2} \partial_\mu \varphi \partial^\mu \varphi - \frac{\tilde{m}^2}{2} \varphi^2$$

$$[\mathcal{L}] = \frac{E}{L^3}; \quad [\varphi] = \sqrt{\frac{M \cdot L}{T^2}}; \quad [\tilde{m}] = \frac{1}{L}$$

$$m := \frac{\hbar \tilde{m}}{c}; \quad [m] = M \text{ (massa)}$$

# Exercício